



# الأخطاء الشائحة في التصميم الانسائي المندسية

كيف تحدث الأخطاء داخل البرامج؟ وكيف نمنع انتقالها للواقع







# المقدمة

مع كل شبر يتحرر من أرض سوريا، تولد فينا مسؤولية... وتُفتح أمامنا أبواب الأمل.

لقد آن أوان البناء، لا فقط بالحجر، بل بالعقل والضمير والخبرة. فنحن، كمهندسين إنشائيين، لسنا مجرّد مصمّمين لمنشآت، بل حَمَلة لرسالة إعادة الحياة لما تهدّم، وبُناة لواقعٍ أكثر أمانًا ووعيًا.

وفي هذا السياق، تأتي ندوتنا اليوم خطوة على طريق إعمارٍ هندسيٍّ واعٍ، نضيء فيها بعض الجوانب الخفيَّة في استخدام البرامج الهندسية، لنكون أكثر دقة، وأكثر مسؤولية... لأن ما نبنيه اليوم، سيحمله الوطن غدًا



# لمحة عن تأثير الأخطار البرمجية على التصميم

ليست كل الأخطاء في الهندسة ناتجة عن سوء تنفیذ... بعضها یبدأ بخطأ رقمی داخل برنامج تصمیم. في زمن تحسم فيه البرامج الإنشائية قرارات تتعلق بالسلامة والكفاءة الاقتصادية، يصبح أي خطأ، مهما كان بسيطًا، تهديدًا حقيقيًا.

في هذه المحاضرة، نكشف الوجه الخفي لهذه البرامج: أين تقع الأخطاء؟ لماذا تحدث؟ وكيف نمنعها قبل أن تكلَّفنا أمان المنشأة أو اقتصاد المشروع؟

فهل نستخدم البرامج بوعي، أم نثق بها بثمن قد ندفعه غاليًا ؟؟؟؟؟



# تصنيف أخطاء البرامج الهندسية :

- أخطاء ناتجة عن البرنامج نفسه: تشمل الثغرات البرمجية أو القيود التقنية التي قد تمنع
   البرنامج من التعامل مع بعض الحالات الواقعية أو تنفيذ جميع الحسابات المطلوبة بدقة.
- أخطاء ناجمة عن سوء فهم المهندس لأدوات البرنامج: قد يؤدي الاستخدام غير الصحيح أو الجزئي لأدوات البرنامج إلى نتائج خاطئة، خصوصًا إذا لم يكن المهندس ملمًا بكيفية تطبيق الخيارات والإعدادات المتاحة.
  - أخطاء بسبب عدم شمولية البرنامج لمحددات الأكواد الهندسية: بعض البرامج لا تغطي
     كامل شروط الأكواد والمعايير الهندسية، ما يتطلب من المهندس إضافة حسابات أو
     اعتبارات خارج نطاق البرنامج لضمان الالتزام الكامل.
- أخطاء ناتجة عن اعتماد المهندس الكامل على نتائج البرنامج دون تدقيق: الثقة المطلقة بنتائج البرنامج دون مراجعة أو تحليل نقدي تمنع اكتشاف الأخطاء أو إيجاد حلول بديلة، مما قد يؤدى إلى تصميمات غير آمنة أو غير اقتصادية .



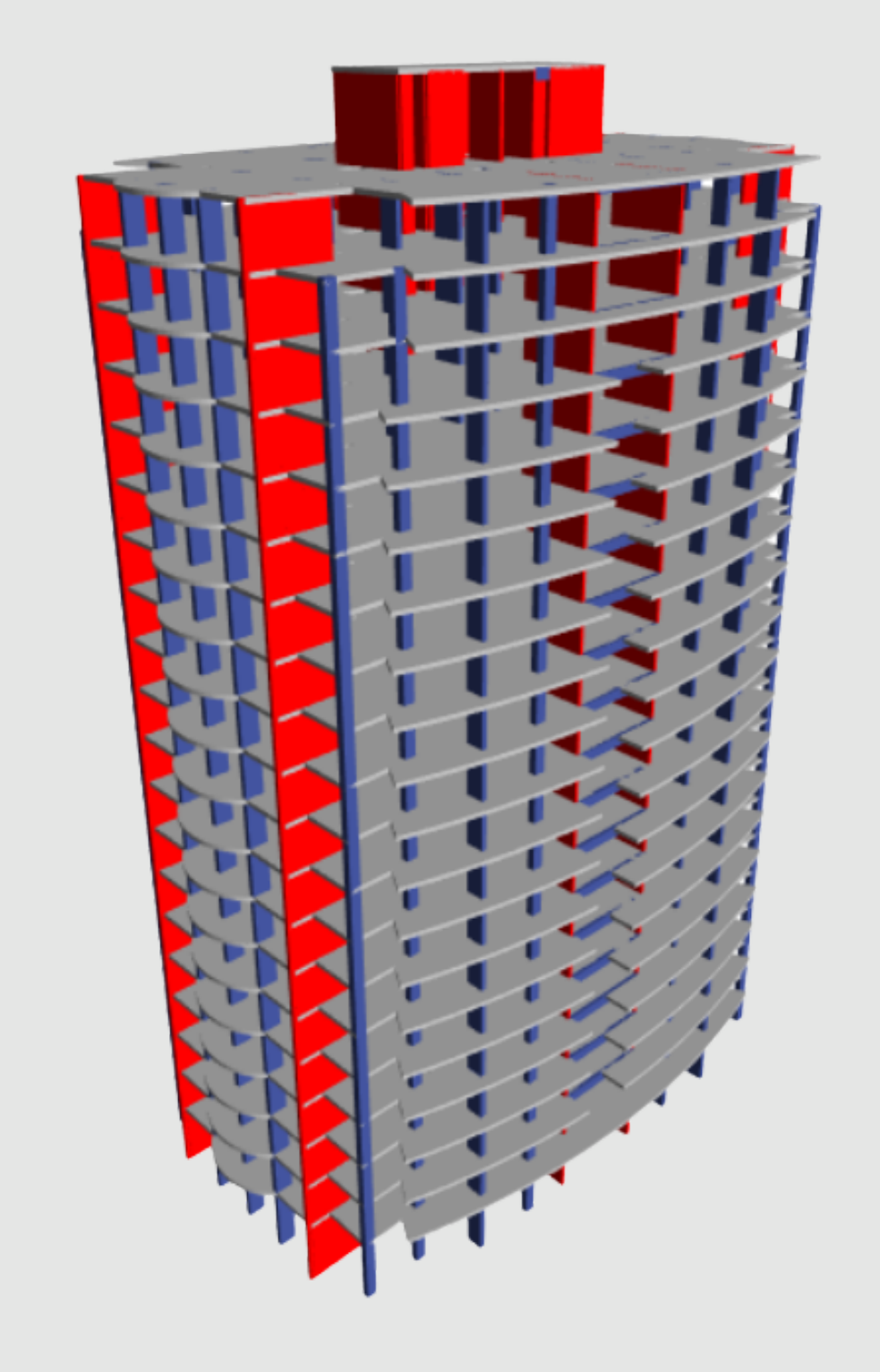
بعض البرامج تعتمد فرضيات داخلية قد لا تعكس الواقع بدقة.

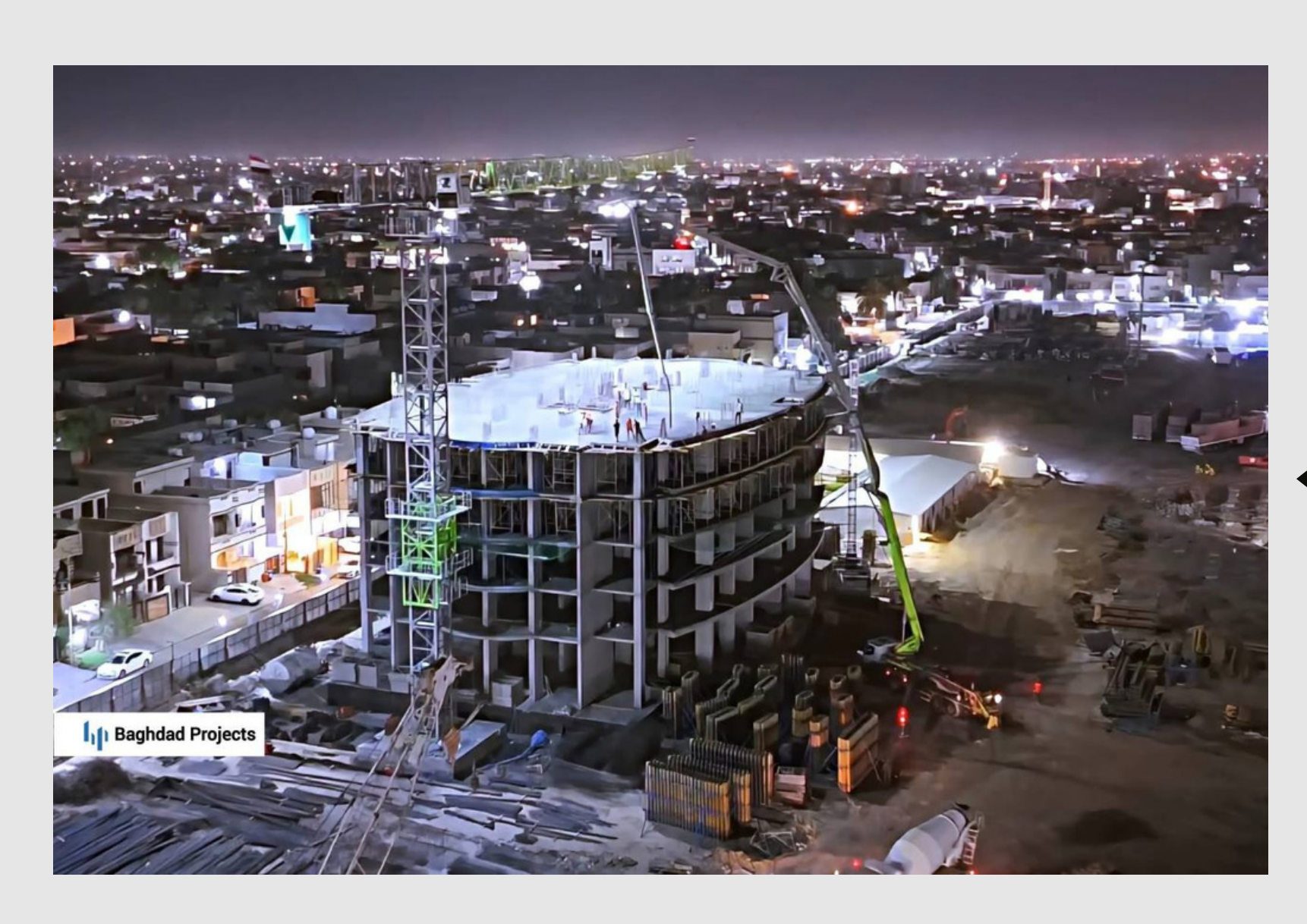
مثلًا، في تصميم الأعمدة عللى برنامج Etabs، يُستخدم الطول الكامل للعنصر دون خصم سماكة السقف أو Drop Panel ، ما يؤثر على دقة فحص الانبعاج.

وعند تعديل الطول يدويًا، يرفع البرنامج معامل التقوس Cm تلقائيًا إلى 1، رغم أن لا علاقة مباشرة بين الطول الصافي Cm9، مما يؤدي إلى نتائج مبالغ فيها تتطلب تصحيحًا وايجاد حلول من قبل المهندس المصمم ، إذاً ما الحل ؟؟؟؟؟

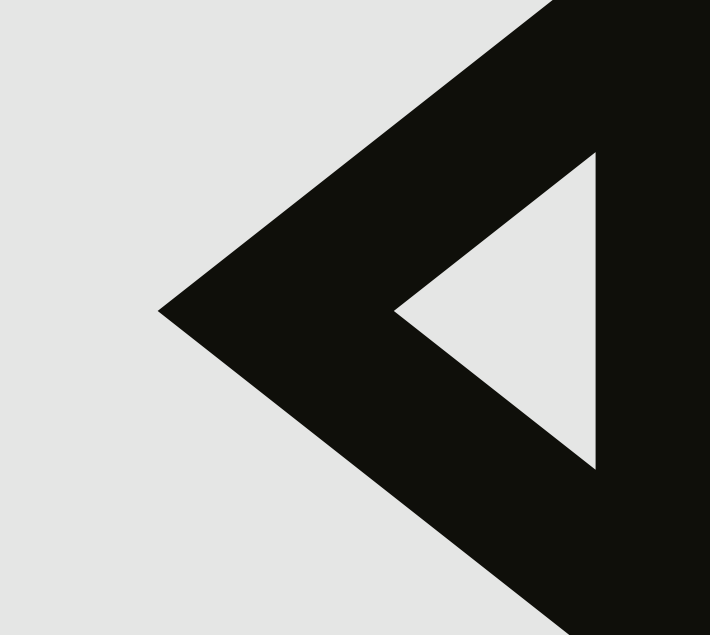
وفيما يلي، سنعرض مجموعة من الصور التوضيحية التي تسلّط الضوء على هذه الإِشكالية البرمجية، مع بيان الخطوات التصحيحية الواجب اتباعها ضمن البرنامج لضمان دقة التحليل وسلامة النتائج :

فيما يلي لدينا المثال على تصميم أحد الأعمدة لبرج مجمع SWISS COMPOUND الذي تم تصميمه في محافظة بغداد حيث أن العمود كان بطول كامل 5.5m وبسبب وجود سقف بسمك 20cm سيكون الطول الصافي 5.3m ورغم ذلك البرنامج أخذ طول العمود 5.5m :









### Column Element Details (Part 1 of 2)

Level	Element	Unique Name	Section ID	Combo ID	Station Loc
Ground Floor	C11	11	C (45X200) - 36T20 - Gr to 4th	U12=1.2SIDL+1Ev+1(X2Y2 SRSS)+0.5LL	0

### Column Element Details (Part 2 of 2)

Length (mm)	LLRF	Type	
5500	0.4	Sway Intermediate	

#### Section Properties

b (mm)	h (mm)	dc (mm)	Cover (Torsion) (mm)
450	2000	60	27.3

#### **Material Properties**

E c (MPa)	f' c (MPa)	Lt.Wt Factor (Unitless)	f <sub>γ</sub> (MPa)	f ya (MPa)
29725.41	40	1	420	420

### Design Code Parameters

Фт	Фстыс	Ф свом	Ф ум	Ф 🗤	Ф Vjant	Ω۰
0.9	0.65	0.75	0.75	0.6	0.85	2

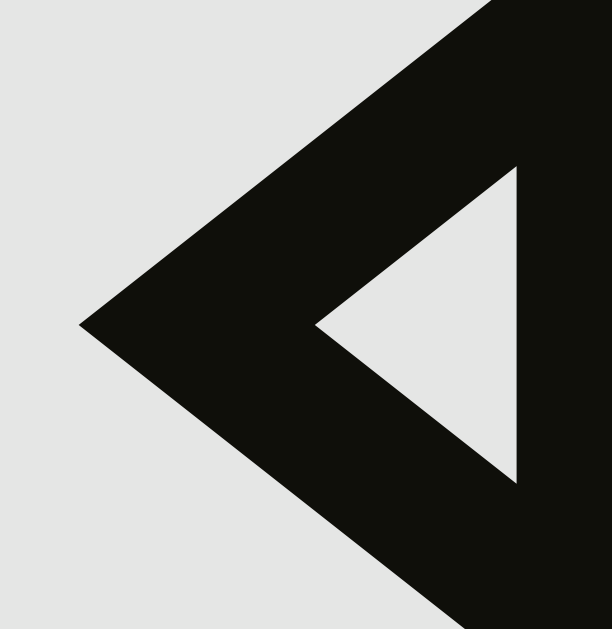
### Axial Force and Biaxial Moment Check for Pu , Muz , Muz

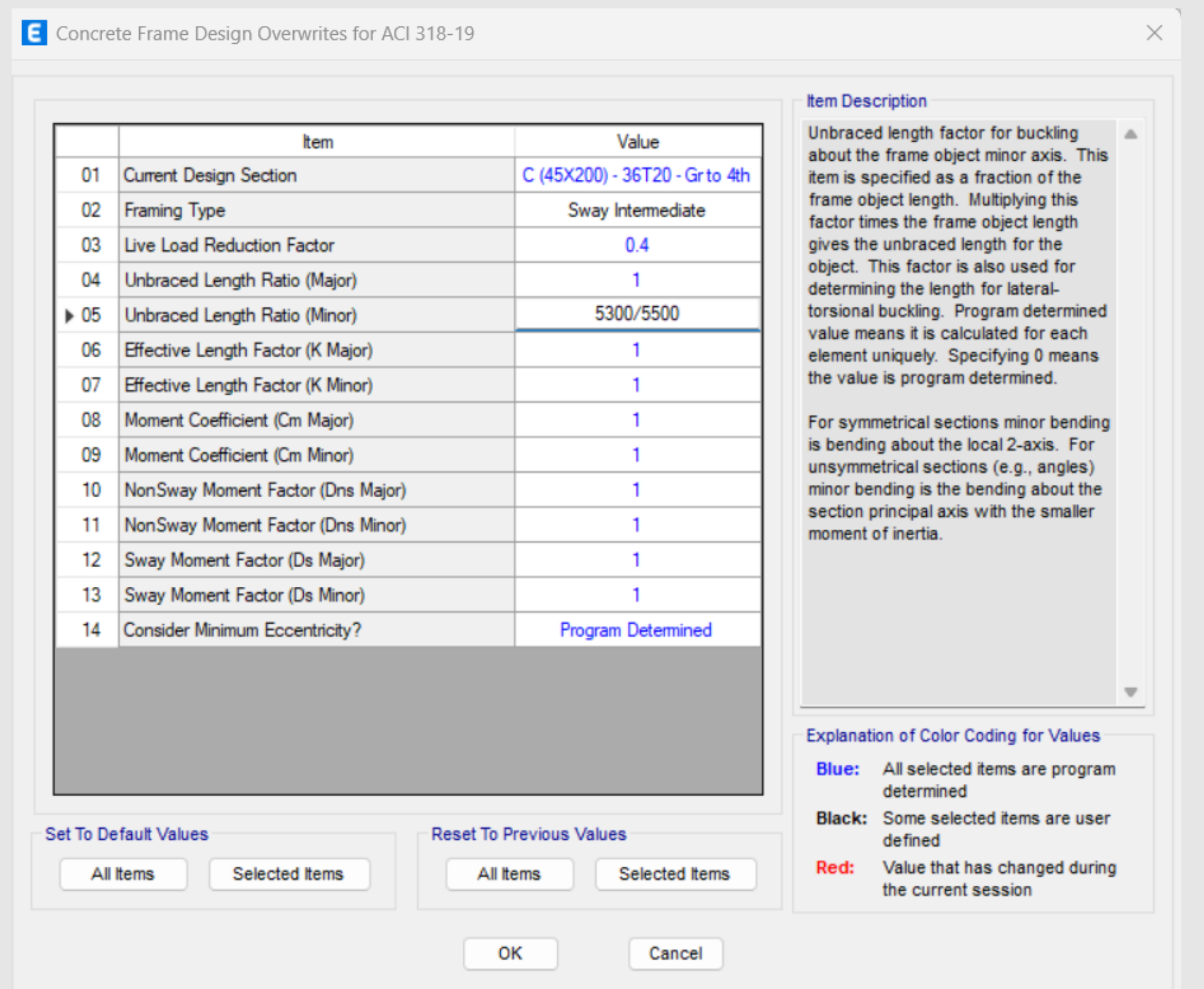
Design P <sub>u</sub>	Design M ₀₂	Design M⊿	Minimum M <sub>2</sub>	Minimum M <sub>2</sub>	Rebar %	Capacity Ratio
kN	kN-m	kN-m	kN-m	kN-m		Unitless
7614.2992	-218.835	-566.9997	218.835	572.8999	1.26	0.424

#### **Axial Force and Biaxial Moment Factors**

	C Factor Unitless	δ <sub>™</sub> Factor Unitless	δ, Factor Unitless	K Factor Unitless	Length mm
Major Bend(M3)	0.337889	1	1	1	5500
Minor Bend(M2)	0.304419	1	1	1	5500









### Column Element Details (Part 1 of 2)

Level	Element	Unique Name	Section ID	Combo ID	Station Loc
Ground Floor	C11	11	C (45X200) - 36T20 - Gr to 4th	U12=1.2SIDL+1Ev+1(X2Y2 SRSS)+0.5LL	0

### Column Element Details (Part 2 of 2)

Length (mm)	LLRF	Type	
5500	0.4	Sway Intermediate	

### **Section Properties**

b (mm)	h (mm)	dc (mm)	Cover (Torsion) (mm)
450	2000	60	27.3

### **Material Properties**

E c (MPa)	f' c (MPa)	Lt.Wt Factor (Unitless)	fy (MPa)	f ys (MPa)
29725.41	40	1	420	420

### **Design Code Parameters**

Фт	Ф опеа	Ф capiral	Ф vns	Φ ∨s	Φ vjoint	Ωο
0.9	0.65	0.75	0.75	0.6	0.85	2

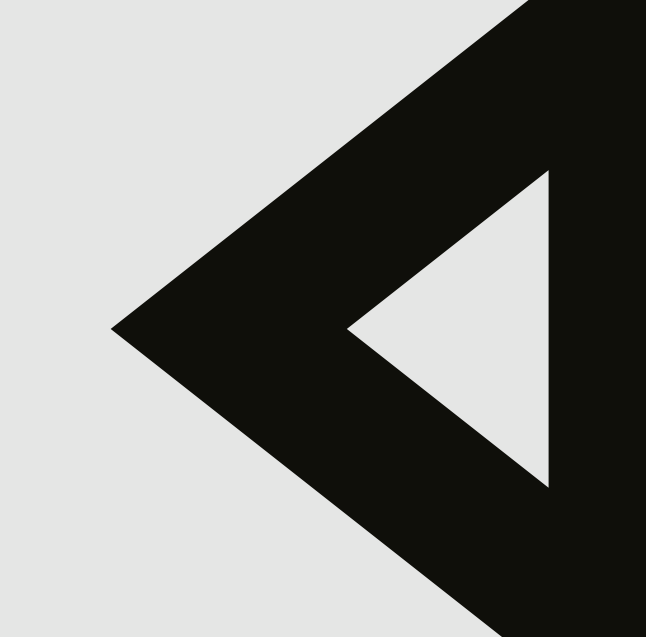
### Axial Force and Biaxial Moment Check for P $_{\text{u}}$ , M $_{\text{u2}}$ , M $_{\text{u3}}$

Design Pu	Design M v2	Design Mu₃	Minimum M <sub>2</sub>	Minimum M₃	Rebar %	Capacity Ratio
kN	kN-m	kN-m	kN-m	kN-m	%	Unitless
7614.2992	314.7796	-566.9997	218.835	572.8999	1.26(O/S #52)	0.437(O/S #52)

### **Axial Force and Biaxial Moment Factors**

	C m Factor Unitless	δ ns Factor Unitless	δ , Factor Unitless	K Factor Unitless	Length mm
Major Bend(M3)	0.337889	1	1	1	5500
Minor Bend(M2)	1	1.438434	1	1	5300





نلاحظ من المثال السابق عند تعديل الطول الفعال قام البرنامج بتضخيم معامل التقوس cm إلى القيمة الأعظمية والتي هي 1 رغم أن علاقة cm بالكود الأمريكي ACl ليست لها علاقة بالطول الفعال :

### **6.6.4.5.3** $C_m$ shall be in accordance with (a) or (b):

(a) For columns without transverse loads applied between supports

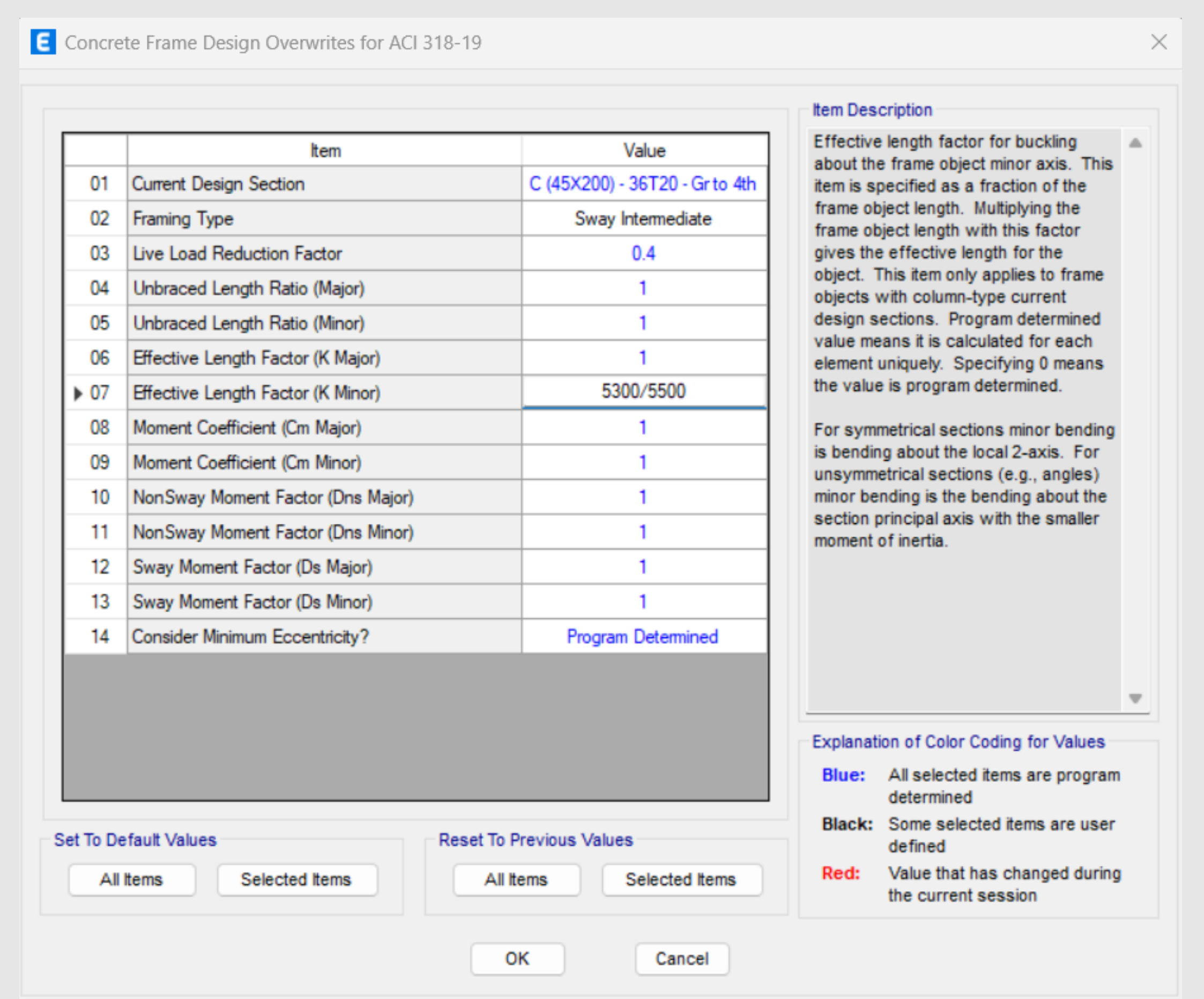
$$C_m = 0.6 - 0.4 \frac{M_1}{M_2}$$
 (6.6.4.5.3a)

where  $M_1/M_2$  is negative if the column is bent in single curvature, and positive if bent in double curvature.  $M_1$  corresponds to the end moment with the lesser absolute value.

(b) For columns with transverse loads applied between supports.

$$C_m = 1.0$$
 (6.6.4.5.3b)







### Column Element Details (Part 1 of 2)

Level	Element	Unique Name	Section ID	Combo ID	Station Loc
Ground Floor	C11	11	C (45X200) - 36T20 - Gr to 4th	U12=1.2SIDL+1Ev+1(X2Y2 SRSS)+0.5LL	0

### Column Element Details (Part 2 of 2)

Length (mm)	LLRF	Type
5500	0.4	Sway Intermediate

#### Section Properties

b (	(mm)	h (mm)	dc (mm)	Cover (Torsion) (mm)
	450	2000	60	27.3

#### **Material Properties**

E c (MPa)	f' c (MPa)	Lt.Wt Factor (Unitless)	fy(MPa)	fys (MPa)
29725.41	40	1	420	420

#### **Design Code Parameters**

Фт	Ф спес	Φ Capirel	Φ Vns	Φ ∨s	Φ V]oint	Ωο
0.9	0.65	0.75	0.75	0.6	0.85	2

### Axial Force and Biaxial Moment Check for Pu , Mu2 , Mu3

Design P u	Design M u2 kN-m	Design Mus kN-m	Minimum M 2 kN-m	Minimum M a kN-m	Rebar %	Capacity Ratio Unitless
7614.2992	-218.835	-566.9997	218.835	572.8999	1.26	0.424

### **Axial Force and Biaxial Moment Factors**

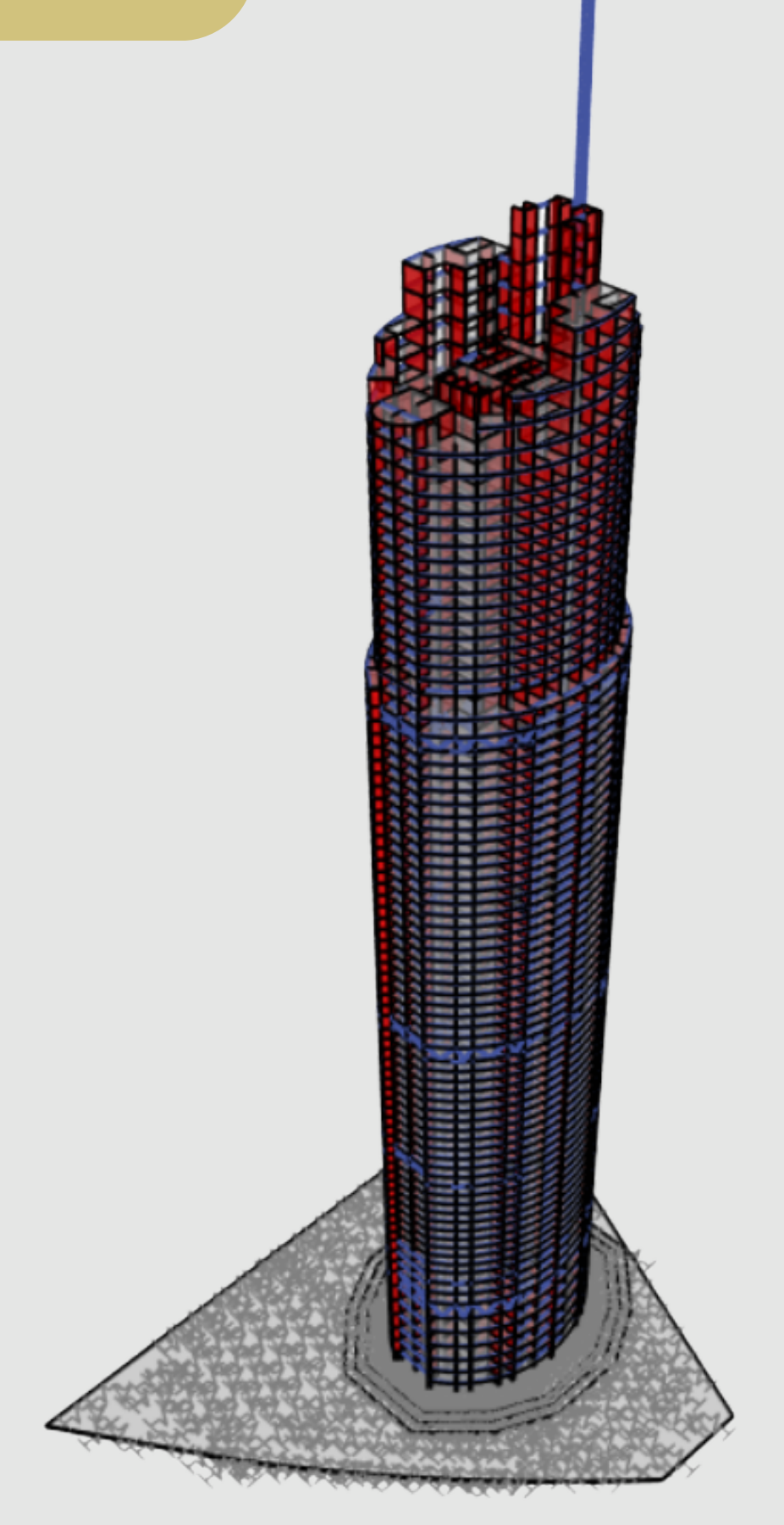
	C m Factor Unitless	δ ≈ Factor Unitless	δ s Factor Unitless	K Factor Unitless	Length mm
Major Bend(M3)	0.337889	1	1	1	5500
Minor Bend(M2)	0.304419	1	1	0.963636	5500



كما أنه أحياناً يجبر المهندس على تفعيل نوع من الخيارات مثل خيار Auto Construction Sequence والذي يفيد في محاكاة مراحل التنفيذ الواقعية وتوزع الأحمال التدريجي على العناصر الإنشائية حيث أن هذا التحليل يعكس سلوك المنشأ بشكل أدق، والذي يعطي نتائج أدق من نتائج النمذجة والتحليل التقليدية التي تعطي نتائج غير دقيقة بسبب التحميل الفوري الغير واقعي.

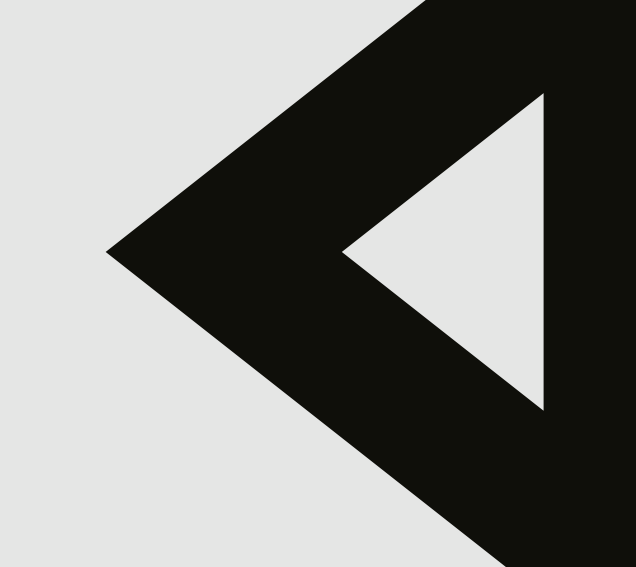
فلدينا مثال من احدى الأبراج العالية في مجمع DOWN TOWN الذي يتجاوز ارتفاعه ال 85 طابق حيث بعد التحليل تم التحقق من تصميم الأعمدة وجدنا أن البرنامج ضخَّم معامل التقوس Cm لكل الأعمدة بعد تفعيل تحليل Auto Construction Sequence بشكل غير منطقي .





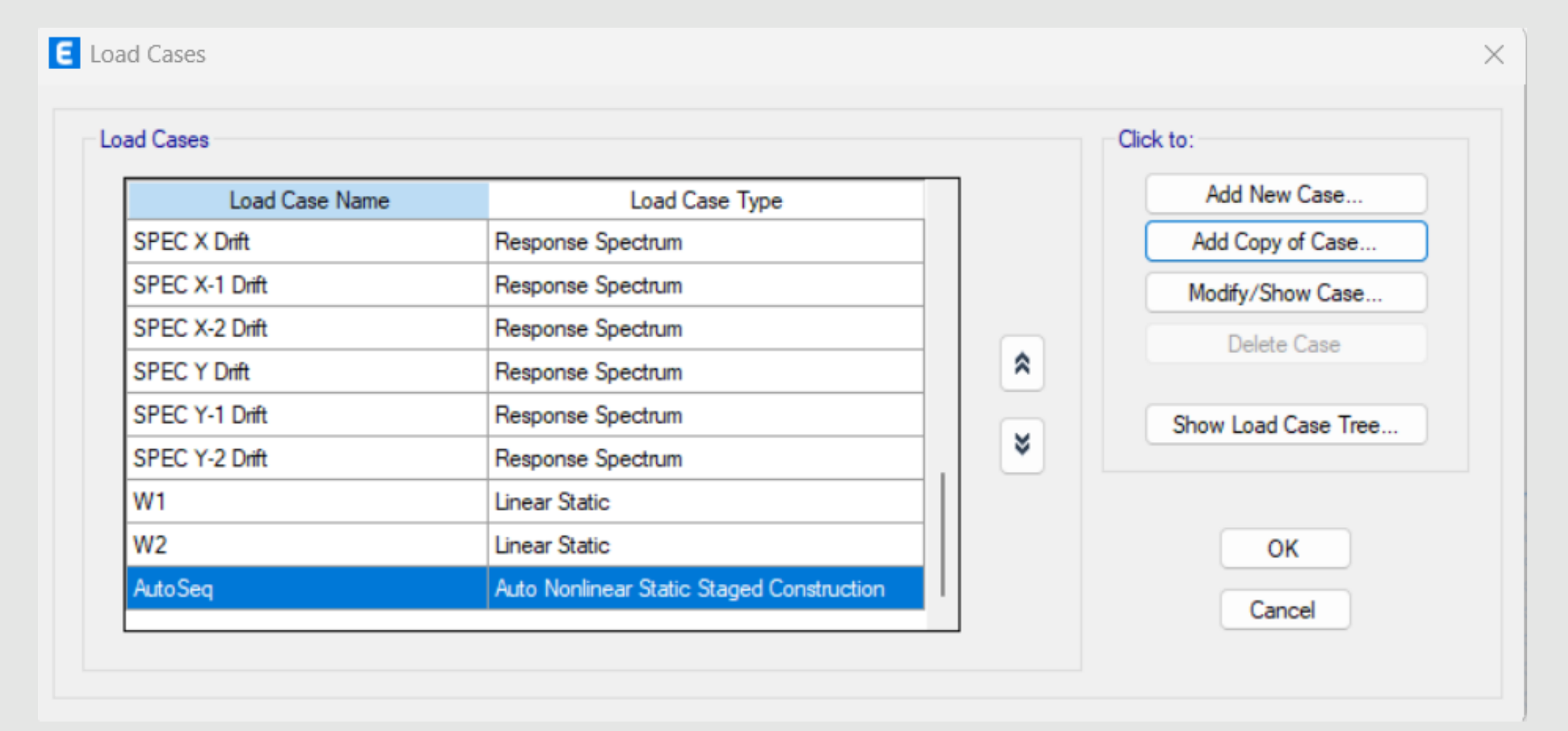




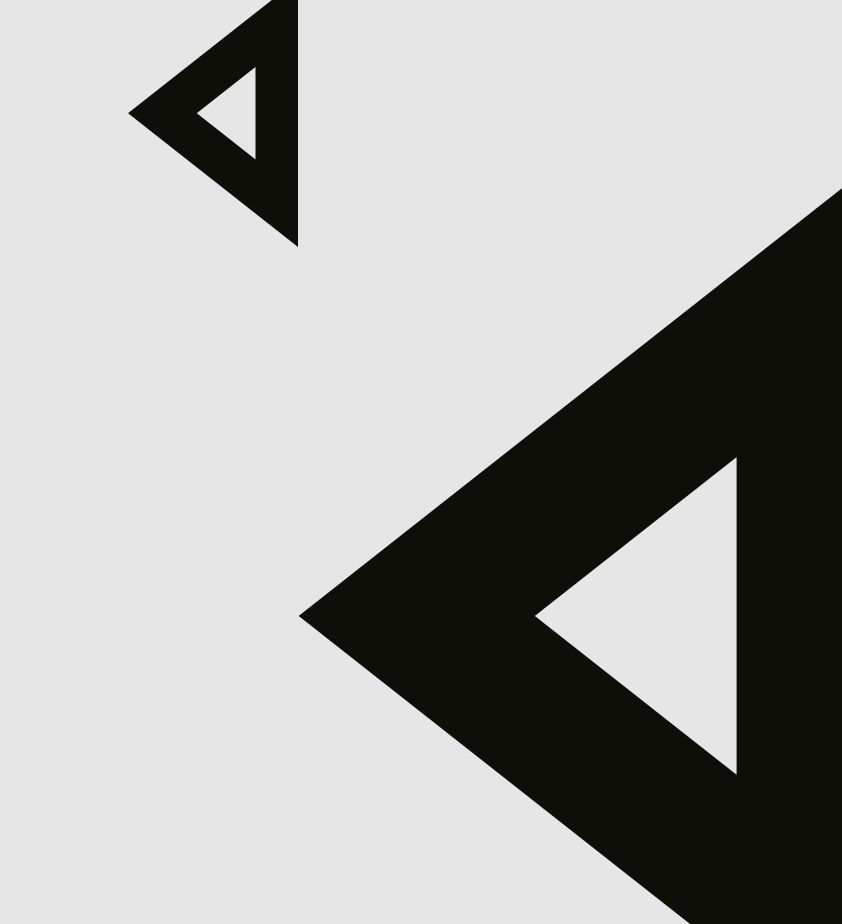


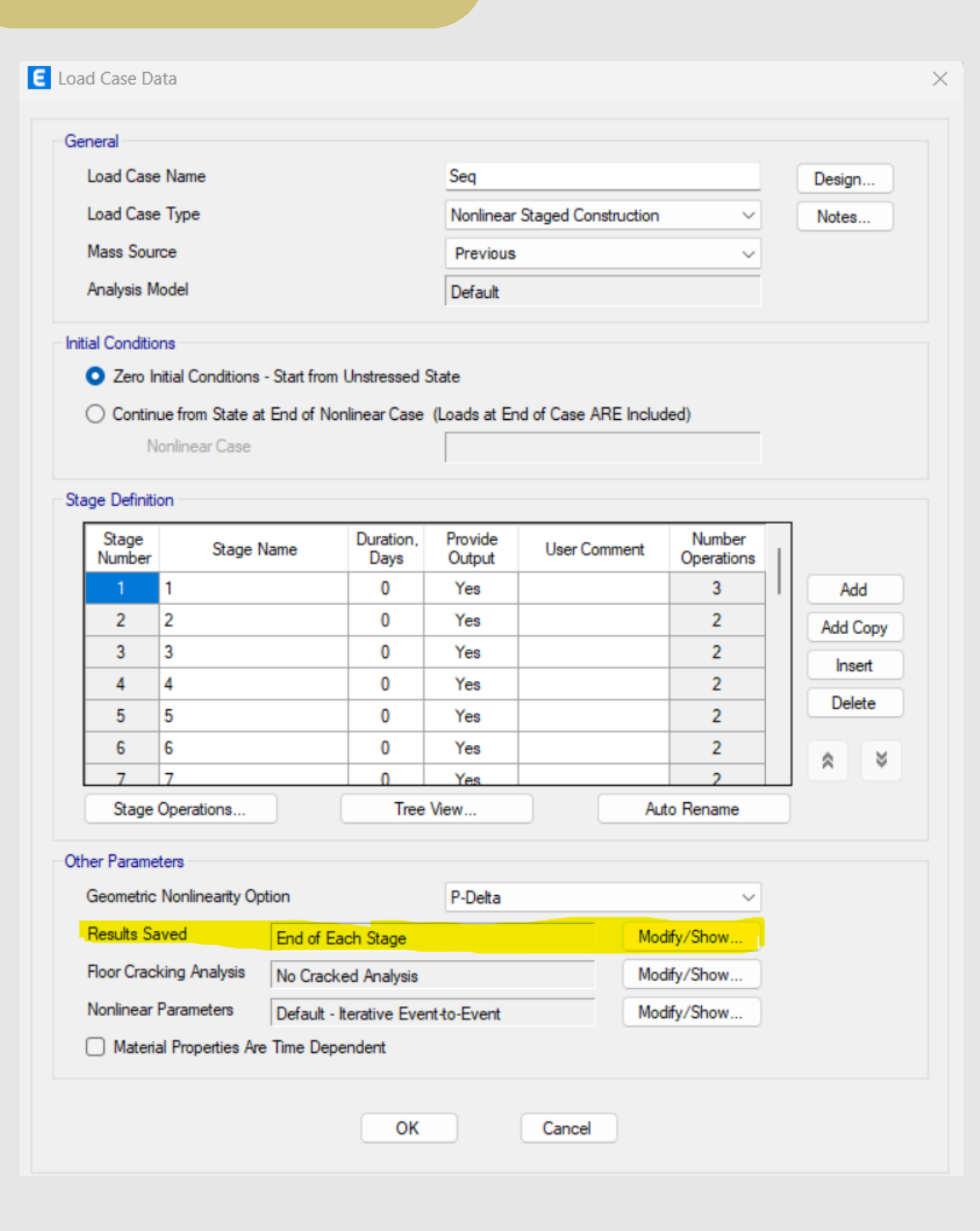
فعند تفعيل تحليل Auto Construction Sequence يقوم البرنامج بأخذ معامل التقوس Cm=1 لجميع الأعمدة ويعود السبب أن البرنامج يفترض تطبيق الأحمال تدريجياً خلال التنفيذ مما يقلل من تأثير الانبعاج الجانبي ، لكن هذا الافتراض ليس دقيقاً دائماً ومن الممكن ان يحدث انبعاج خلال التحميل المرحلي لذلك البرنامج للأمان يقوم بفرض معامل التقوس Cm=1 لذلك يجب على المهندس مراجعة Cm يدوياً وفقاً لشروط تقييد العمود وطوله أو ممكن استخدام الحل التالي :

بأن نعرف أو نفعل خيار Auto Construction Sequence ثم نقوم بالخطوات التالية الموضحة في

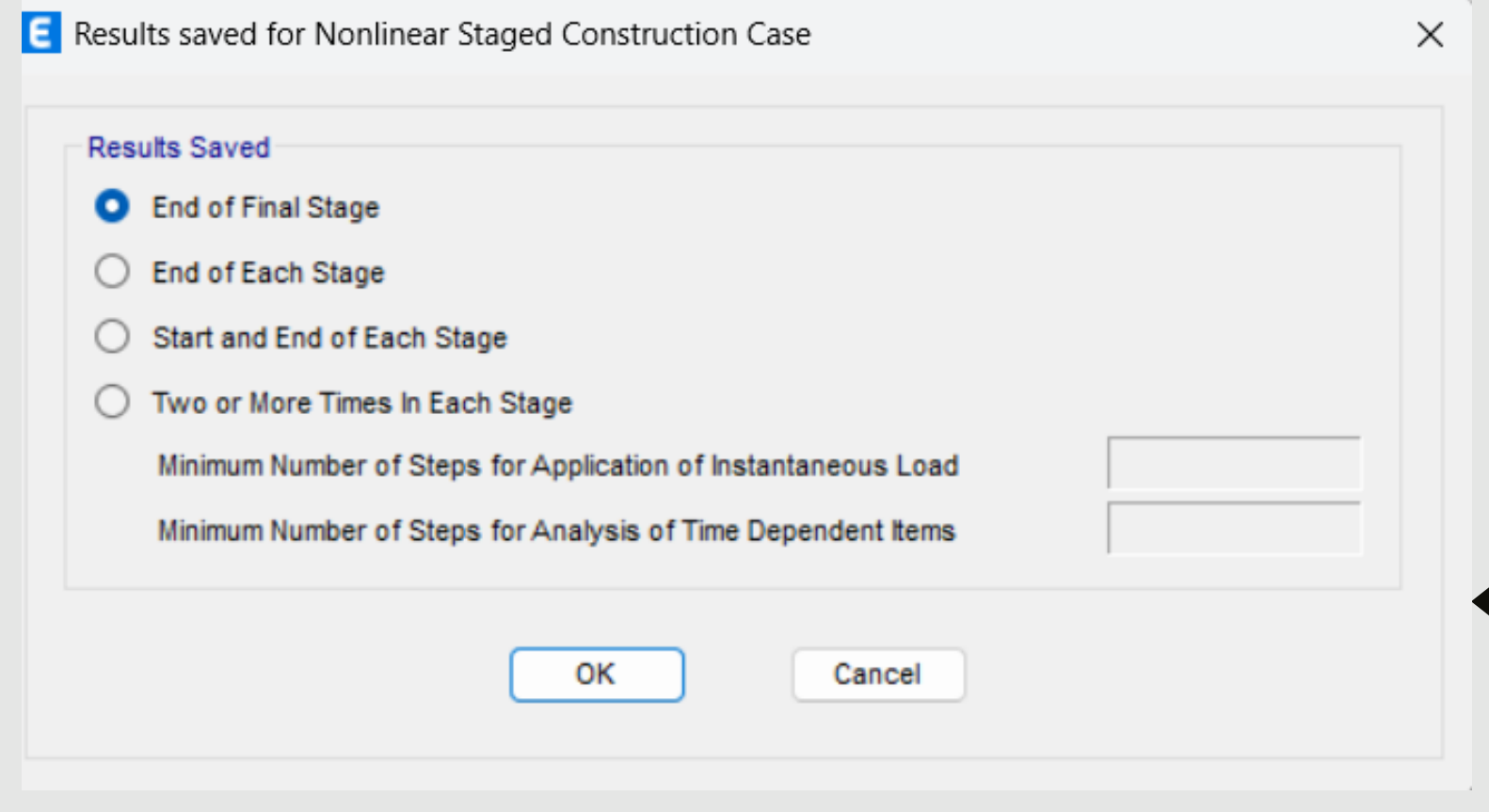


الصور:





## • أخطاء ناتجة عن البرنامج نفسه :



# • أخطاء ناتجة عن البرنامج نفسه :

فالغاية من هذه العملية أن الحالة الأصلية لايمكن التعديل فيها فنعمل نسخة منها ونقوم بالخطوات السابقة السبب أن البرنامج أصبح يفهم أن كل طابق بدء يتحمل الأحمال تدريجياً ويقوم بحساب التشوهات والانفعالات بناءاً على هذه العملية ، لكن البرنامج سيحسب التشوهات على الأعمدة بشكل أكبر بسبب تراكم هذه التشوهات .

لذلك الحل الذي قمنا به يجبر البرنامج على عدم حفظ النتائج المتراكمة وانما فقط النهائية فيحسب Cm بناءاً على التشوهات النهائية الفعلية وهو المطلوب من ذلك .



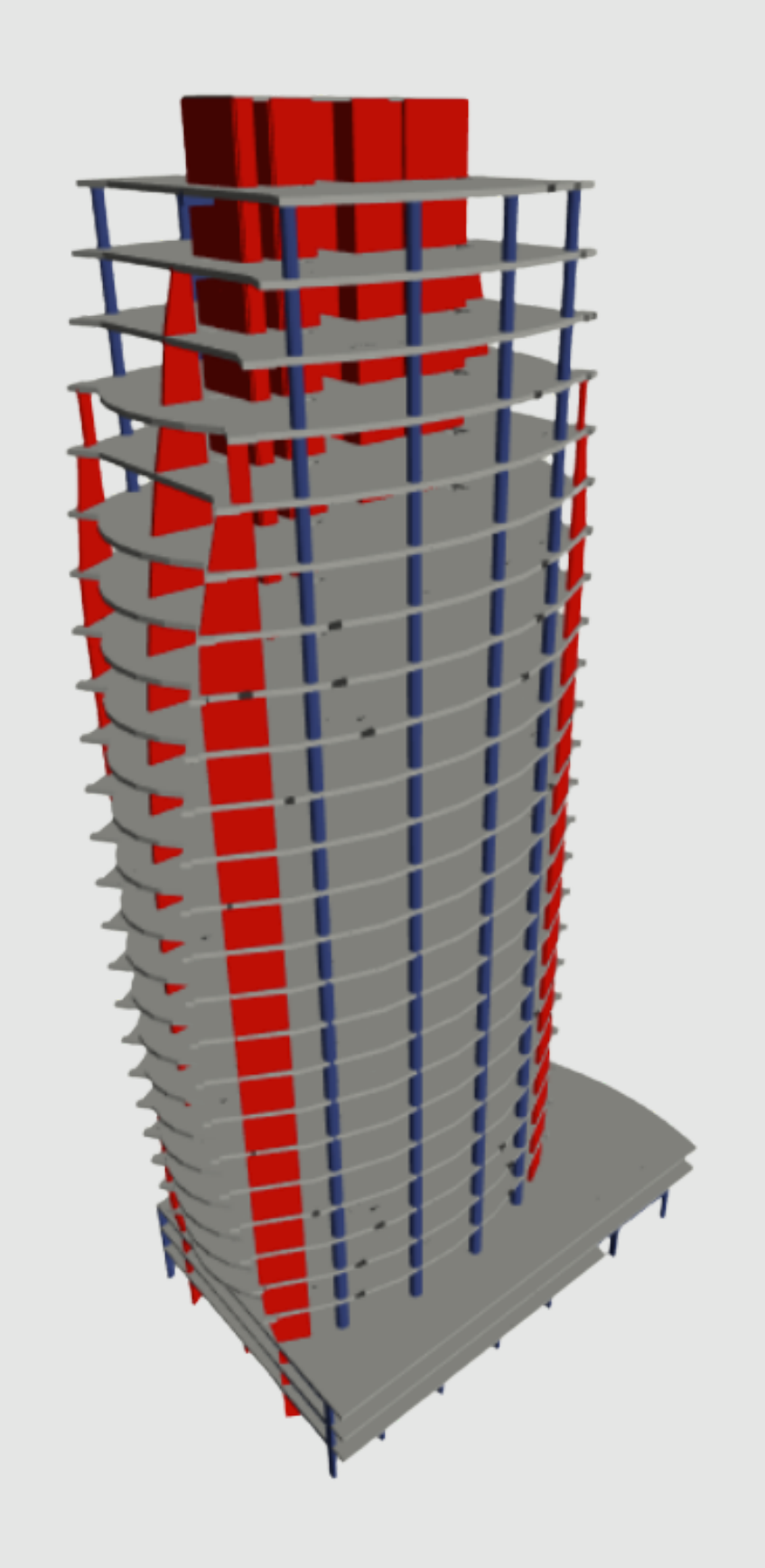
# • أخطاء ناجمة عن سوء فهم المهندس لأدوات البرنامج:

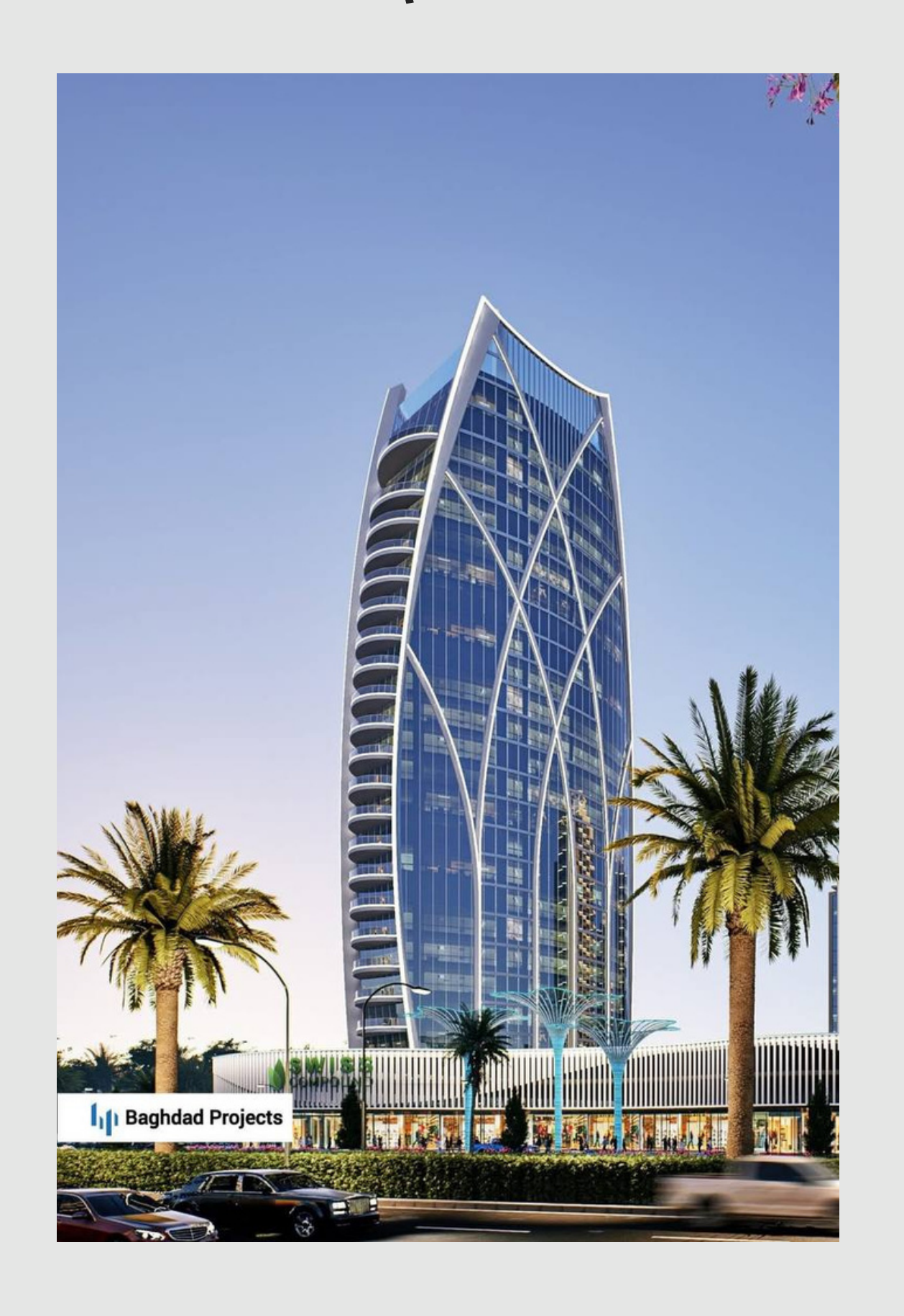
ليست كل الأخطاء ناتجة عن خلل في البرنامج ذاته، بل كثيرٌ منها يعود إلى سوء فهم المهندس لآلية عمل أدوات البرنامج أو إهمال إدخال بيانات ضرورية تؤثر بشكل مباشر على النتائج.

فعلى سبيل المثال في تصميم الأسقف باستخدام برنامج SAFE، إذا لم يقم المهندس بإدخال تسليح الحديد العلوي والسفلي أو لم يُعدِّل معاملات مهمة مثل معامل (Modulus of Rupture) ونطاق الصلابة (Rigid Zone) للأعمدة والجدران، فإن البرنامج سيحسب السهم (Deflection) بشكل مبالغ فيه، وقد يعطي نتائج غير واقعية، تؤثر سلبًا على دقة التصميم وقرارات التنفيذ .

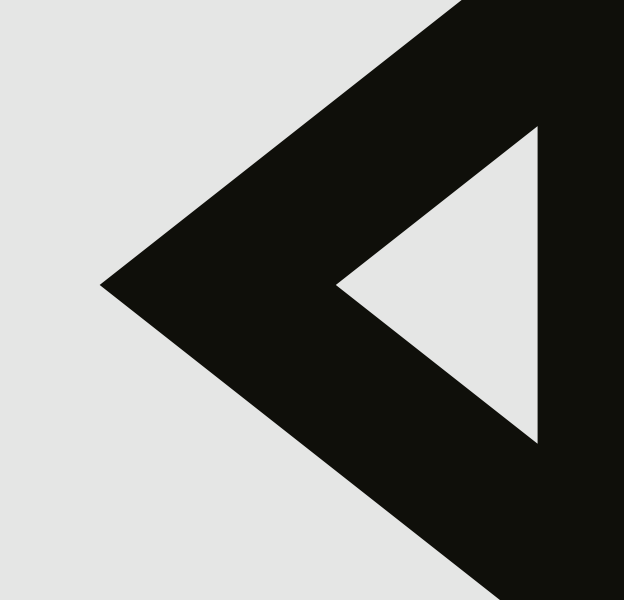
فلدينا مثال لسقف أحد الأبراج التجارية في مجمع SWISS COMPOUND الجاري تنفيذها حالياً في محافظة بغداد التي تم تصميمها وتم بالبداية عدم تعديل المعاملات المذكورة سابقاً و نفس المثال مع تعديل هذه المعاملات وكيفية فرق النتائج يالحالتين :

# • أخطاء ناجمة عن سوء فهم المهندس لأدوات البرنامج:









- أخطاء ناجمة عن سوء فهم المهندس لأدوات البرنامج:
  - الحالة الأولى : عدم أخذ المعاملات المأخوذة سابقاً بعين الاعتبار :

Modulus of Rupture for Cracked Deflections	
<ul> <li>Program Default (Based on Concrete Slab Design (</li> </ul>	Code)
O User Specified	

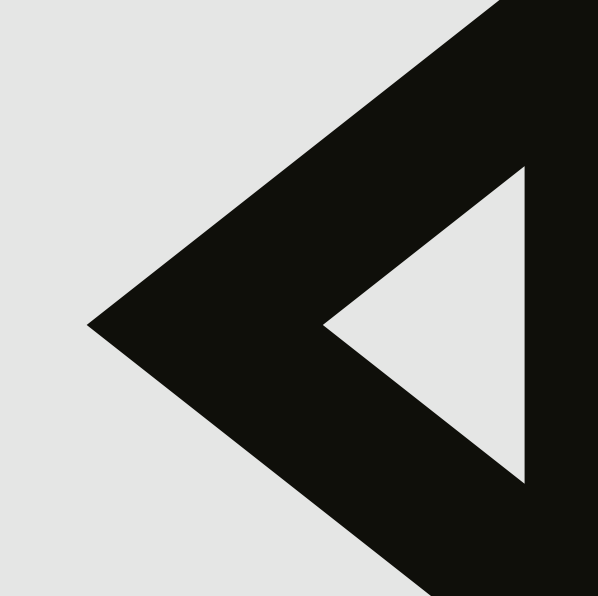
einforcement Source		
<ul> <li>User Specified Rebar/Designed Slab Rel</li> </ul>	oar	
Quick Tension Rebar Specification	Bar Size	Spacing (mm)
Top Reinforcing		
Bottom Reinforcing		
nimum Reinforcing Ratios Used for Cracking / Tension Reinforcing	n lalysis	0.0018
Compression Reinforcing		0



- أخطاء ناجمة عن سوء فهم المهندس لأدوات البرنامج:
  - الحالة الأولى : عدم أخذ المعاملات المأخوذة سابقاً بعين الاعتبار :

neral Data			
Property Name	C176		
Material	C40	v	2 1
Notional Size Data	Modify/Show Notion	nal Size	3
Display Color	Cha	ange	<del>*</del>
Notes	Modify/Show No	otes	
аре			
Section Shape	Concrete Rectangular	~	
ction Property Source			Property Modifiers
Source: User Defined			Modify/Show Modifiers  Currently Default
ction Dimensions			Section Type
Depth	900	mm	Column Section
Width	450	mm	Beam Section
Drop I	anel/Column Capital Dimensions		ОК
	Show Section Properties		Cancel



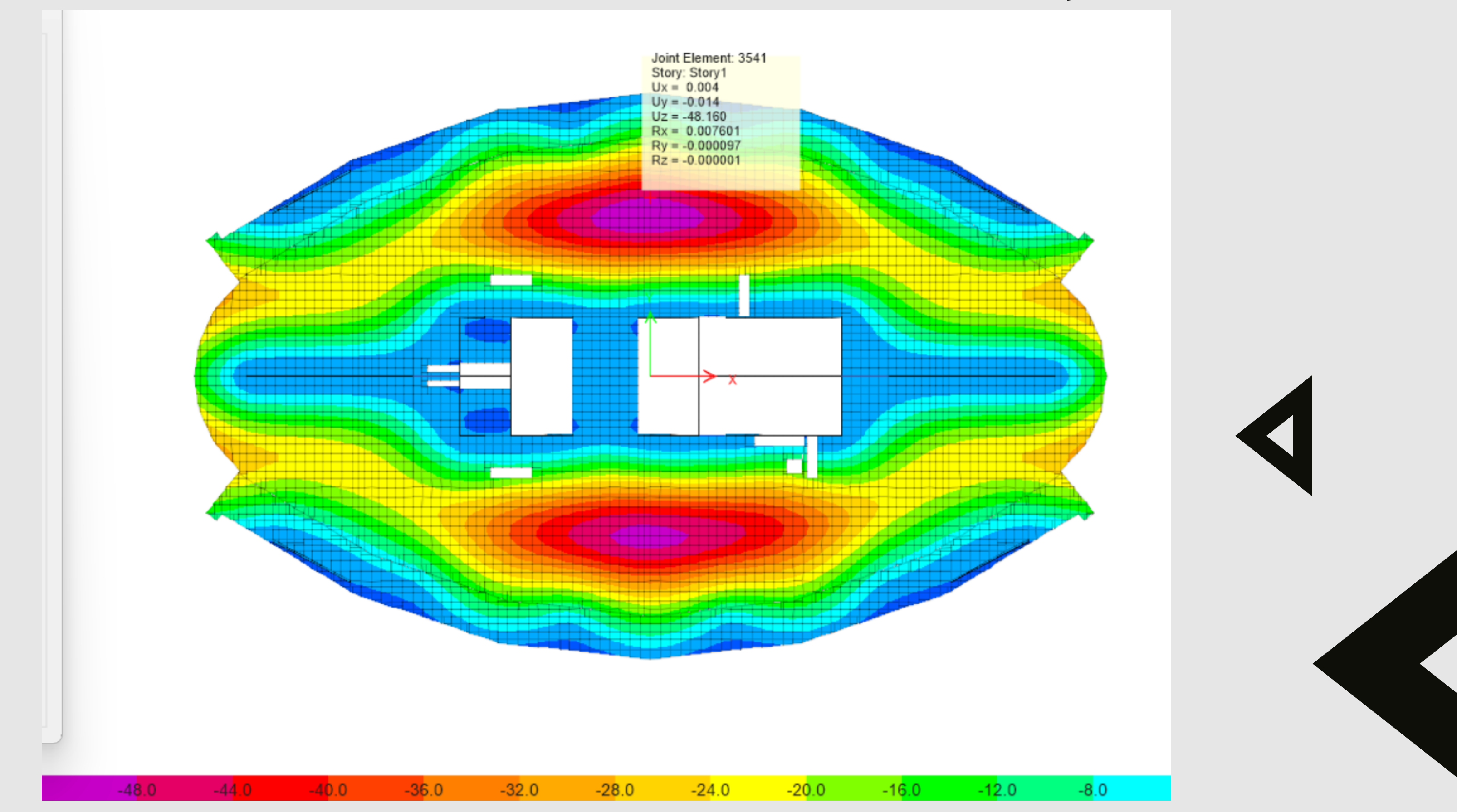


- أخطاء ناجمة عن سوء فهم المهندس لأدوات البرنامج:
  - الحالة الأولى : عدم أخذ المعاملات المأخوذة سابقاً بعين الاعتبار :

Property Name  Wall Material  Notional Size Data	C40  Madify/Chay National Size	
		<u>~</u>
Notional Size Data	Madify/Chayy National Cian	
	Modify/Show Notional Size	
Modeling Type	Shell-Thin	~
Modifiers (Currently Default)	Modify/Show	
Display Color	Change	
Property Notes	Modify/Show	
Property Data		
Thickness	250	mm



- أخطاء ناجمة عن سوء فهم المهندس لأدوات البرنامج:
  - الحالة الأولى : عدم أخذ المعاملات المأخوذة سابقاً بعين الاعتبار :



# • أخطاء ناجمة عن سوء فهم المهندس لأدوات البرنامج:

• الحالة الثانية : عند أخذ المعاملات المأخوذة سابقاً بعين الاعتبار :

Modulus of Rupture for Cracked Deflections				
Program Default (Based on Concrete Slab Design Code)				
User Specified	3.51	MPa		

• والذي علاقته محددة بالكود الأمريكي 19-ACI318 والتي ندخل بعلاقة عزم التشقق:

### 19.2.3 Modulus of rupture

**19.2.3.1** Modulus of rupture,  $f_r$ , for concrete shall be calculated by:

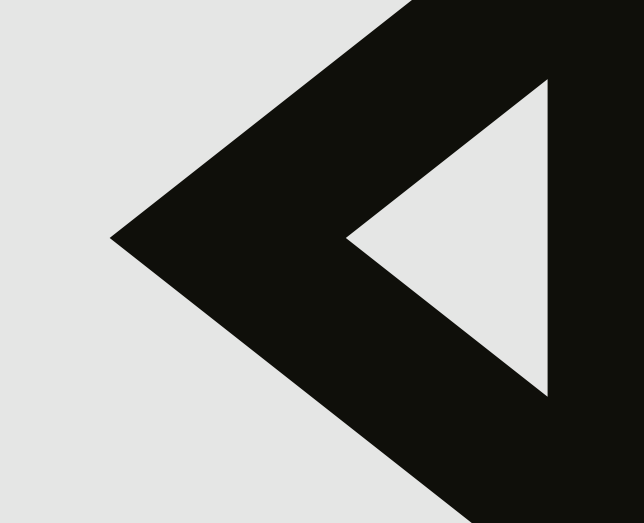
$$f_r = 0.62\lambda \sqrt{f_c'}$$
 (19.2.3.1)

**2.5.2** Cracked members-Effective moment of inertia  $I_e$ -Tension cracks occur when the imposed loads cause bending moments in excess of the cracking moment, thus resulting in tensile stresses in the concrete that are higher than its modulus of rupture. The cracking moment,  $M_{cr}$  may be computed as follows:

$$M_{cr} = \frac{f_r I_g}{y_t} \tag{2.11}$$

where  $y_i$  is the distance from the neutral axis to the tension face of the beam, and  $f_r$  is the modulus of rupture of the concrete, as expressed by Eq. 2.1.





# • أخطاء ناجمة عن سوء فهم المهندس لأدوات البرنامج:

• الحالة الثانية : عند أخذ المعاملات المأخوذة سابقاً بعين الاعتبار :

leinforcement Source			
<ul> <li>User Specified Rebar/Designed Slab Reb</li> </ul>	ar		
O Quick Tension Rebar Specification	Bar Size	Spacing (mm)	
Top Reinforcing			
Bottom Reinforcing			
linimum Reinforcing Ratios Used for Cracking A	Analysis		
Tension Reinforcing		0.00339	
Compression Reinforcing		0.00339	

### 2.6--Long-term deflection

**2.6.1** ACI method-Time-dependent deflection of one-way flexural members due to the combined effects of creep and shrinkage, is calculated in accordance with ACI 318-89 (using Branson's Equation, 1971, 1977) by applying a multiplier,  $\lambda$ , to the elastic deflections computed from Equation 2.10:

$$\lambda = \frac{\xi}{1 + 50 \,\rho'} \tag{2.22}$$

where  $\rho'$  = reinforcement ratio for non-prestressed compression steel reinforcement

ξ = time dependent factor, from Fig. 2.2 (ACI 318, 1989)

Hence, the total long-term deflection is obtained by:

$$\delta_{LT} = \delta_L + \lambda_t \delta_{sus} \qquad (2.23)$$

where

 $\delta_{I}$  = initial live load deflection

 $\delta_{sus}$  = initial deflection due to sustained load

 $\lambda_t$  = time dependent multiplier for a defined duration time t

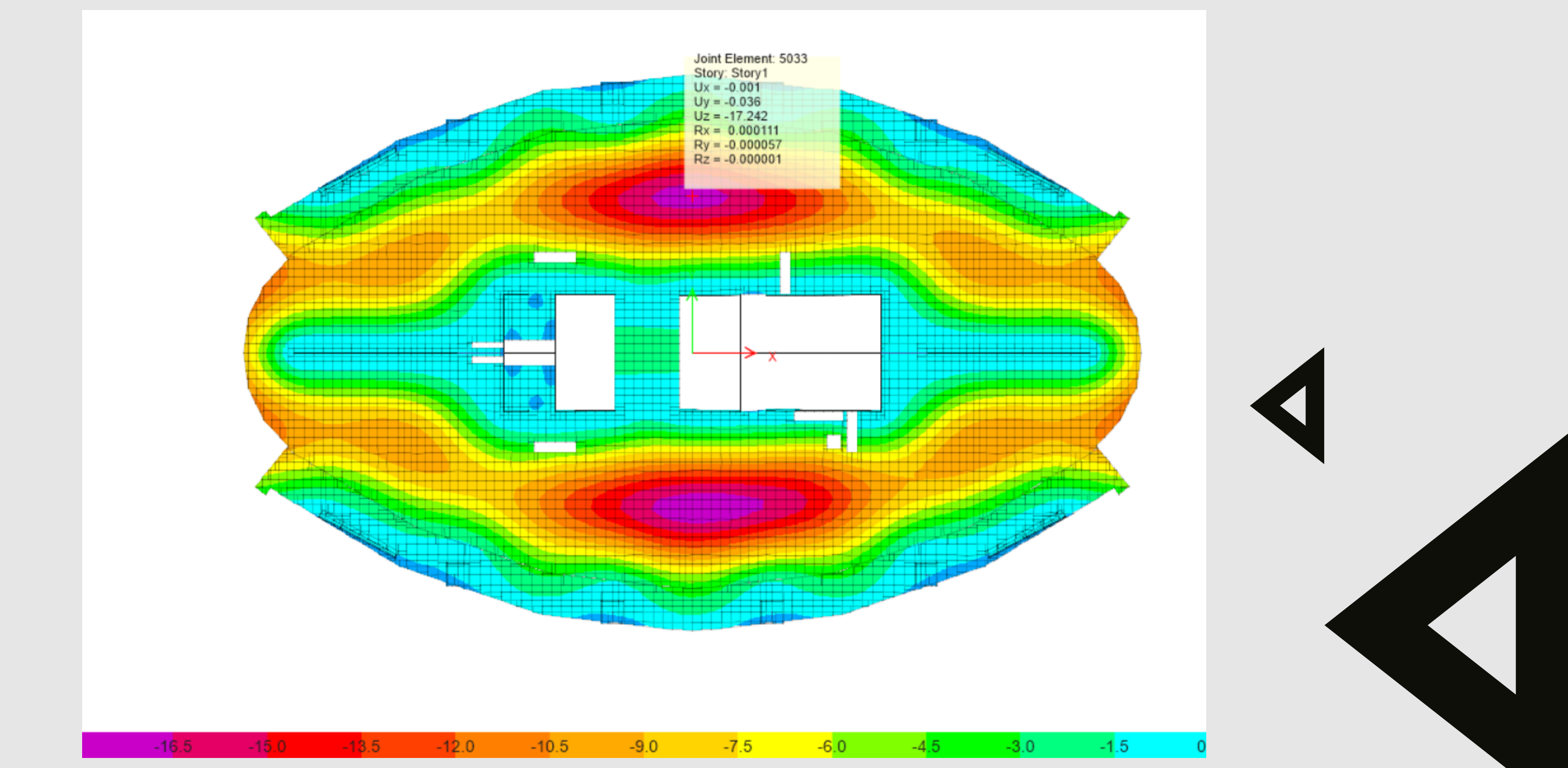
حيث أن نسبة الحديد تدخل بعلاقة حساب السهم وتؤثر بشكل فعّال على السهم .

- أخطاء ناجمة عن سوء فهم المهندس لأدوات البرنامج:
  - الحالة الثانية : عند أخذ المعاملات المأخوذة سابقاً بعين الاعتبار :

eral Data				
Property Name	C173			
Material	C40		v	2 ↑
Notional Size Data	Modify/Sho	w Notional Size		3
Display Color		Change		<del>*</del>
Notes	Modify/	Show Notes		
аре				
Section Shape	Concrete Rectar	ngular	V	
				Property Modifiers
ction Property Source				Modify/Show Modifiers
Source: User Defined				Currently Default
ction Dimensions				Section Type
Depth		800	mm	Column Section
Width		400	mm	Beam Section
				ОК
Drop F	Panel/Column Capital Dimer	nsions		OK
	Show Section Properties			Cancel



- أخطاء ناجمة عن سوء فهم المهندس لأدوات البرنامج:
  - الحالة الثانية : عند أخذ المعاملات المأخوذة سابقاً بعين الاعتبار :



رغم تطور البرامج الهندسية، إلا أنها لا تغطى دائمًا كافة أنظمة الإنشاء أو محددات الأكواد التصميمية بشكل مباشر.

وهنا يقع المهندس أمام مسؤولية فهم النظام الإنشائي بدقة، وتحديد كيفية تمثيله يدويًا داخل البرنامج لتحقيق نتائج صحيحة وواقعية.

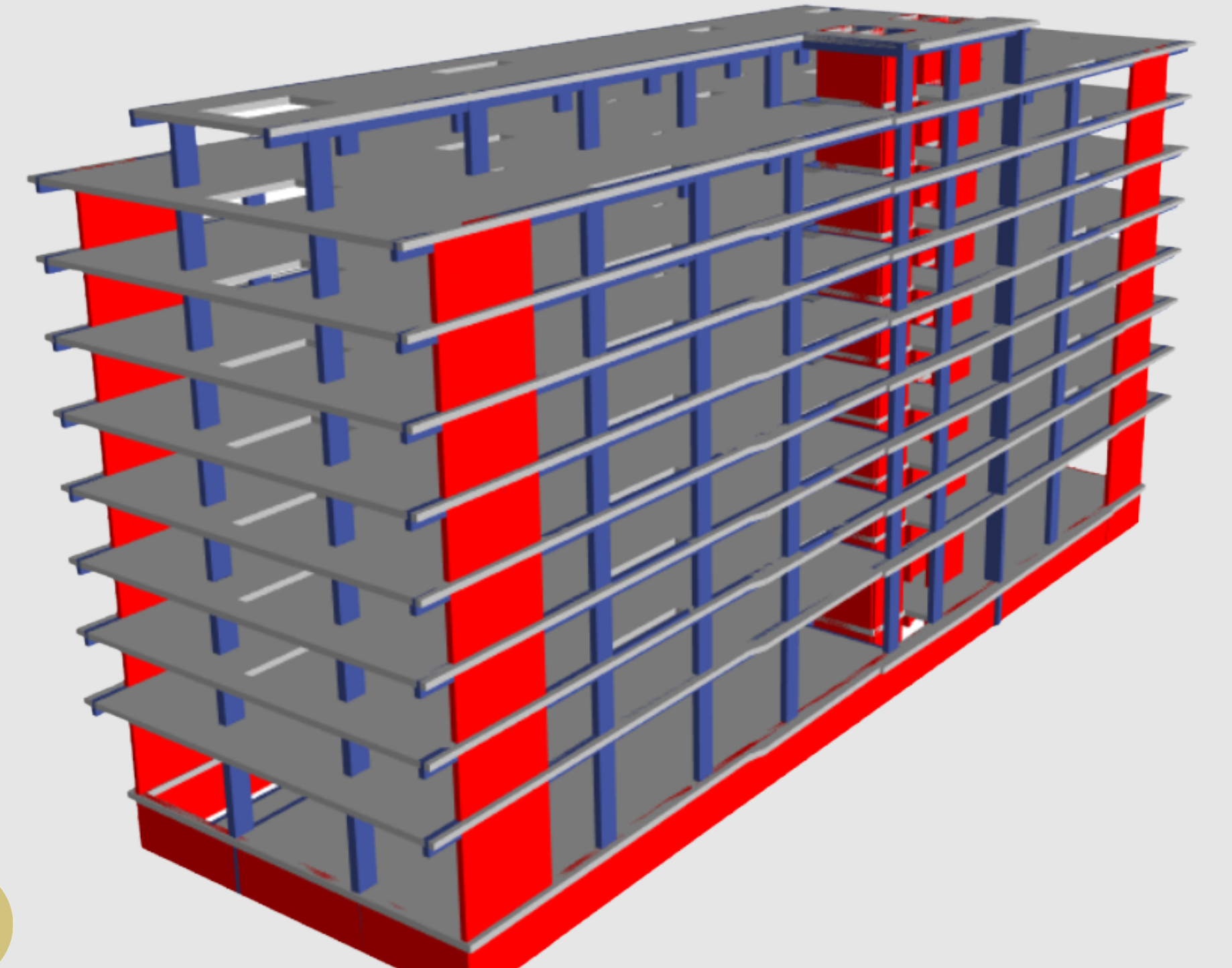
### على سبيل المثال:

البلاطات المفرّغة (Voided Slabs) لا تُدعم بشكل صريح ضمن برامج مثل SAFE وأ ETABS، رغم أن لها

طريقة تصميم خاصة ومحددات مذكورة في الكودات. تمثيل هذا النوع من الأنظمة بشكل خاطئ أو تقليدې يؤدې إلى نتائج غير دقيقة في الأحمال والتسليح والتشوه. لذلك، يجب على المهندس فهم سلوك هذا النظام، واستخدام برامج متخصصة أو إيجاد تمثيل مكافئ داخل البرامج العامة يعكس خصائصه الحقيقية من حيث الصلابة والتوزيع . حيث أنه يتم تمثيل هذه السقوف فقط من خلال تخفيض وزن البلاطة فقط وهذا التمثيل خاطئ ومنافى لمحددات الأكواد وطريقة التصميم الصحيحة .

حيث تم تمثيل هذا النظام الانشائي بإحدى الأبنية في محافظة كركوك لفندق كانت أساساته من نوع Raft on Piles تم الغاء ال Piles واستخدام أساسات سطحية من نوع Raft بسبب استخدام هذا النظام لكن كانت المشكلة في هذا النظام أنه لايتوفر في برنامج Safe وأ Safe لذلك تم ايجاد

الحلول كالتالي :



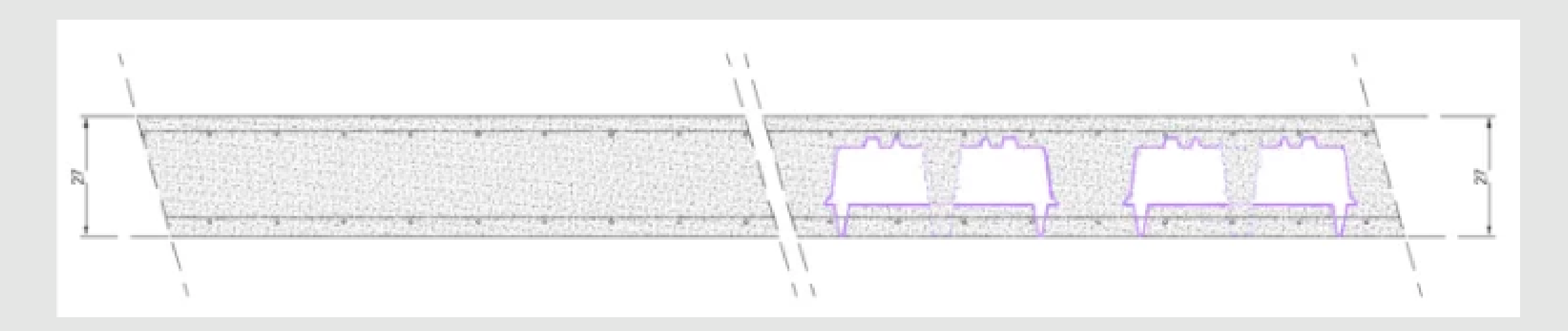








حيث الفكرة في هذا النوع من الأسقف تكمن في تعديل Modifiers الخاصة بالسقف بناءاً على أبعاد وشكل المقطع المستخدم في التصميم وتكون كما يلي :



### Modeling steps:

- 1. Determine parameters for flat (full) slab
- 2. Calculate voided slab equivalent coefficients

Flat slab cross-section features with the same geometry as the voided slab cross-section features are determined and the following features of the 2 slabs are proportioned:

Section Area Factor: A<sub>voided</sub> / A<sub>full</sub>

Concrete Volume Factor: V<sub>voided</sub> / V<sub>full</sub>

Moment of Inertia Factor:  $I_{voided} / I_{full}$ 

These ratios are used by multiplying effective section stiffness in the code.





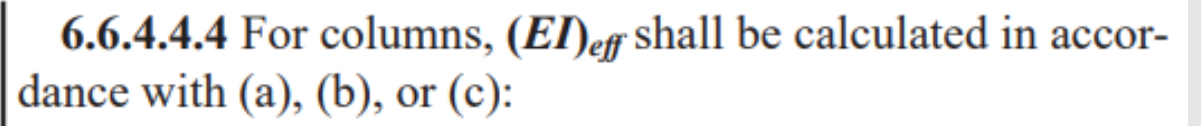
ومن الأمثلة الشائعة أيضاً في هذا النوع من الأخطاء هو أنه في برنامج ETABS عند تصميم العمود قد يعطينا مشكلة 0/S#52 وهي أن النسبة Delta Dns تجاوزت 1.4 ودوماً يقوم المصمم بتغيير أبعاد العمود لتجنب هذه المشكلة سنتحدث عن هذه المشكلة في برنامج ETABS والكود بشكل مفصل أكثر :

• يتم حساب الحمل المسبب للإنبعاج وذلك وفق معادلة أويلر:

**6.6.4.4.2** The critical buckling load  $P_c$  shall be calculated by:

$$P_c = \frac{\pi^2 (EI)_{eff}}{(k\ell_u)^2}$$
 (6.6.4.4.2)

• حيث يتم حساب معامل الجساءة الفعالة للعمود من أحد القوانين :



(a) 
$$(EI)_{eff} = \frac{0.4E_c I_g}{1 + \beta_{dns}}$$
 (6.6.4.4.4a)

(b) 
$$(EI)_{eff} = \frac{(0.2E_cI_g + E_sI_{se})}{1 + \beta_{dns}}$$
 (6.6.4.4.4b)

(c) 
$$(EI)_{eff} = \frac{E_c I}{1 + \beta_{disc}}$$
 (6.6.4.4.4c)





إن برنامج Etabs يستخدم المعادلة الأولى لحساب معامل جساءة الفعالة للعمود وهنا يفتقر البرنامج لاستخدام بقية المعادلات التي تعتمد احداهما على ادخال تأصير الحديد بعين الاعتبار بحال كان بنسبة كبيرة في العمود أو المعادلة الثالثة التى تستخدم بشرط حساب نسبة الجساءة بشكل دقيق :

#### Column Element Details (Part 1 of 2)

Level	Element	Unique Name	Section ID	Combo ID	Station Loc
Ground Floor	Floor C13 13 C (45X200) - 36T20 - Gr to 4th		U07=1.2SIDL+1W2+0.5LL+0.5RLL	5500	

#### Column Element Details (Part 2 of 2)

Length (mm)	LLRF	Type
5500	0.4	Sway Intermediate

#### **Section Properties**

b (mm)	h (mm)	dc (mm)	Cover (Torsion) (mm)
450	2000	60	27.3

### **Material Properties**

E c (MPa)	f'c (MPa)	Lt.Wt Factor (Unitless)	fy (MPa)	f ys (MPa)
29725.41	40	1	420	420

### **Design Code Parameters**

Фт	Ф опеа	Ф capiral	Φ vns	Φ ∨s	Φ vjoint	Ωο
0.9	0.65	0.75	0.75	0.6	0.85	2

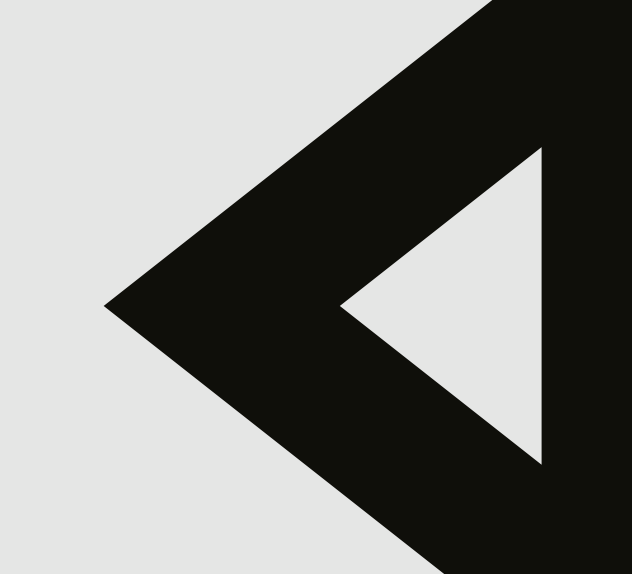
### Axial Force and Biaxial Moment Check for P $_{\rm u}$ , M $_{\rm u2}$ , M $_{\rm u2}$

Design PukN	Design M <sub>v2</sub>	Design M <sub>us</sub>	Minimum M 2	Minimum Ma	Rebar %	Capacity Ratio
	kN-m	kN-m	kN-m	kN-m	%	Unitless
8466.4258	380.9082	-234.9478	243.3251	637.0139	1.26(O/S #52)	0.485(O/S #52)

#### **Axial Force and Biaxial Moment Factors**

	C <sub>m</sub> Factor Unitless	δ ns Factor Unitless	δς Factor Unitless	K Factor Unitless	Length mm
Major Bend(M3)	0.870151	1	1	1	5500
Minor Bend(M2)	0.979511	1.565429	1	1	5500

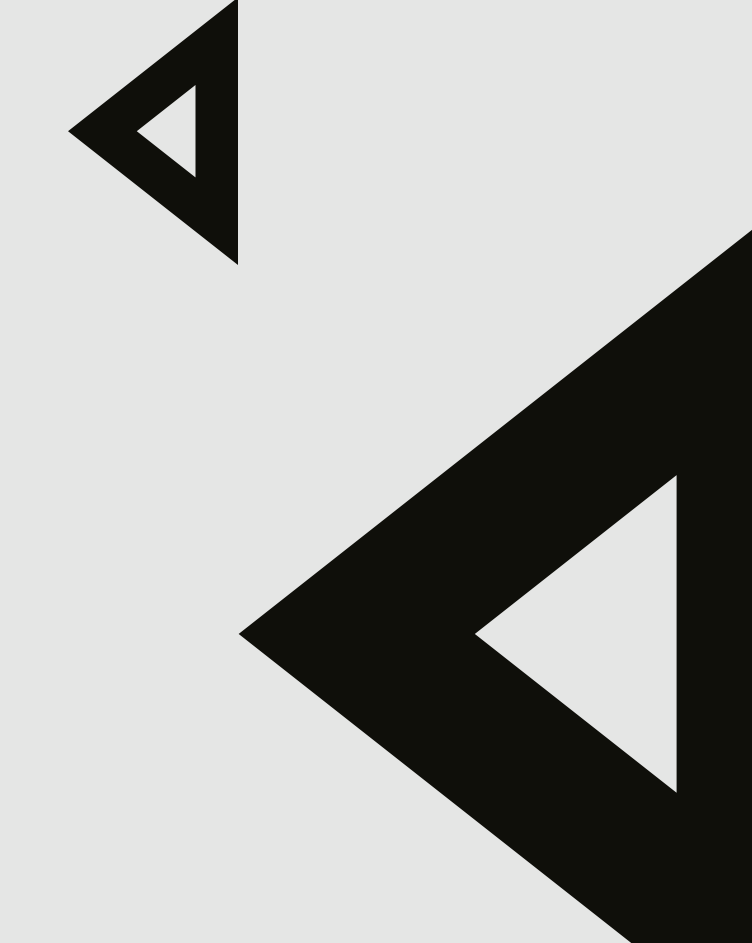




حيث عند تصميم نفس العمود على نفس الأحمال لكن باختلاف نوع المعادلة سنلاحظ التالي :

• استخدام المعادلة الثانية :

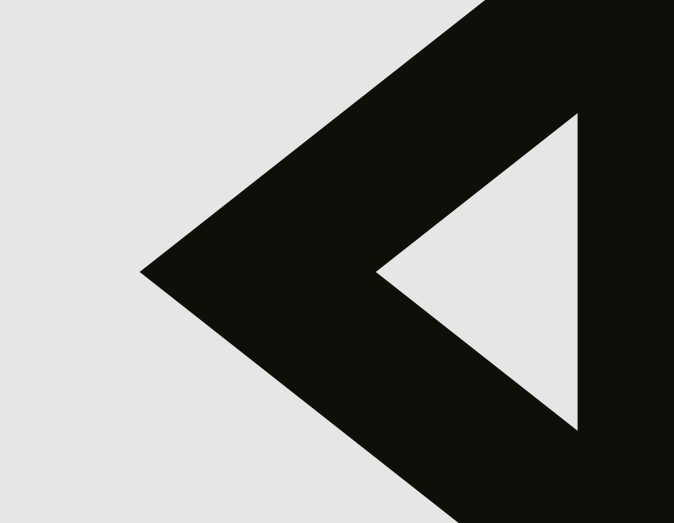
			••
InPut			
Compressive Strength	F <sub>e</sub> `	32.00	Мра
Concrete Denisty	Wc	25.00	Kn/m³
Ultimate Load	P <sub>u</sub>	9142	Kn
Sustained Load	Factored D <sub>L</sub>	8218	Kn
Moment 1	M <sub>1</sub>	-0.464	Kn.m
Moment 2	M <sub>z</sub>	2.727	Kn.m
Correction Factor	Cm	0.98	U.Less
Clear Height	L,	5.50	М
Unsupported Length Factor	K	1.00	User Define
Width Of Column	В	45.00	Cm
Length Of Column	L	200.00	Cm
Clear Cover	Cc	4.0	Cm
Stirrups Diameter	DIA	10	mm
RFT Details	No	Dia	Area /mm2
Number Of Bars Along Axis 2-2	32	20	10048
Total Number Of Bars	36	20	11304
Ratio For RFT		1.26%	



• استخدام المعادلة الثانية :

			••
OutPut			
Modulus Of Elasticity For Concrete	Ę	26587.215	Мра
Moment Of Inertia For Concrete	$\mathbf{I}_{g}$	1518750.00	Cm4
Moment Of Inertia For Steel	$\mathbf{I}_{\mathtt{s}}$	54739.11	Cm4
Minimum Eccentricity	e <sub>min</sub>	0.029	U.Less
Minimum Moment	M <sub>min</sub>	260.55	Kn.m
Radius Of Gyration	r	13.50	Cm
Kl <sub>u</sub> /r	40.741	U.Less	0k < 100
$34 \pm 12 (M_1/M_2)$	31.957	U.Less	Slender Column
β <sub>dns</sub>	0.899	U.Less	
EI For Method <sub>01- a</sub>	85057.11	Kn.m²	
EI For Method <sub>02- b</sub>	100181.20	Kn.m²	
EI For Method <sub>03- c</sub>	148849.94	Kn.m²	
Crtitical Buckling Load / Pc	32685.911	Kn	OK (Pu < 0.75Pc)
δ <sub>ns</sub>	1.56	U.Less	Warning δns > 1.4





استخدام المعادلة الثالثة: حيث تشترط هذه الطريقة حساب الجساءة الفعالة بناءاً على الأحمال المطبقة على
 العمود بالطريقة المحددة بالكود الأمريكي كالتالي:

Table 6.6.3.1.1(b)—Alternative moments of inertia for elastic analysis at factored load

	Alternative value of <i>I</i> for elastic analysis				
Member	Minimum	$oldsymbol{I}$	Maximum		
Columns and walls	$0.35I_g$	$\left(0.80 + 25 \frac{A_{st}}{A_g}\right) \left(1 - \frac{M_u}{P_u h} - 0.5 \frac{P_u}{P_o}\right) I_g$	$0.875I_{g}$		
Beams, flat plates, and flat slabs	$0.25I_g$	$(0.10 + 25\rho) \left(1.2 - 0.2 \frac{b_w}{d}\right) I_g$	$0.5I_g$		

Notes: For continuous flexural members, I shall be permitted to be taken as the average of values obtained for the critical positive and negative moment sections.  $P_u$  and  $M_u$  shall be calculated from the load combination under consideration, or the combination of  $P_u$  and  $M_u$  that produces the least value of I.



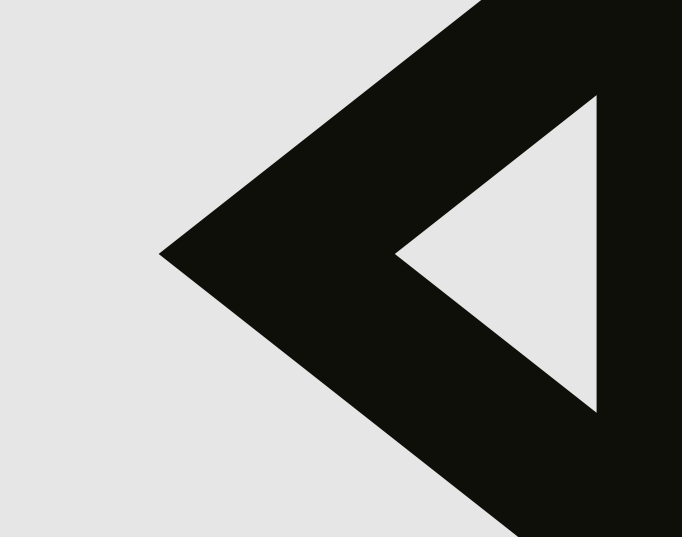


# • أخطاء بسبب عدم شمولية البرنامج لمحددات الأكواد الهندسية:

• استخدام المعادلة الثالثة :

InPut					
Material Pr	operties				
F <sub>C</sub> .	32	Мра	ACI-19.2.1.1		
F <sub>y</sub>	420	Мра	ACI-20.2.2.4		
Section Properties					
<b>C</b> <sub>22</sub>	450	mm	Column Width		
<b>C</b> 33	2000	mm	Column Length		
Cc	<b>Cc</b> 40		ACI-20.6.1.3.1		
RFT <sub>Ratio</sub>	RFT Ratio 1.26%		FROM ETABS		
Loads					
Pu	8466	Kn	FROM ETABS		
M <sub>22</sub>	381	Kn.m	FROM ETABS		
$M_{33}$	637	Kn.m	FROM ETABS		
OutPut					
A <sub>st</sub>	11340	mm <sup>2</sup>			
${\sf A_g}$	900000	mm <sup>2</sup>			
Po	28934.352	Kn	ACI-22.4.2.2		
l <sub>22</sub>	0.70		ACI-6.6.3.1.1 (b)		
l <sub>33</sub>	0.70		ACI-6.6.3.1.1 (b)		



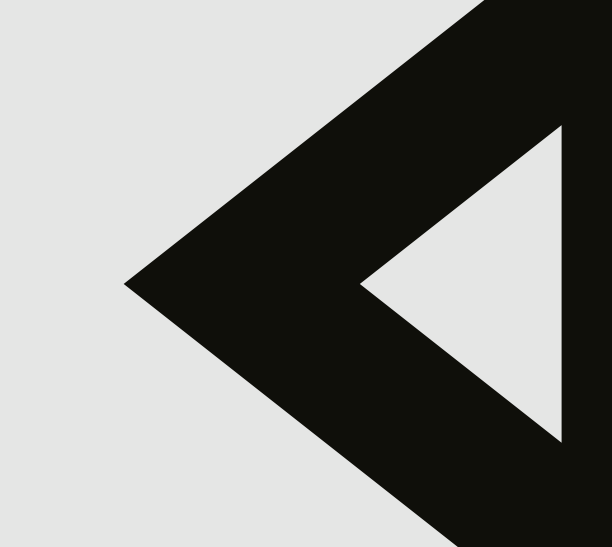


## • أخطاء بسبب عدم شمولية البرنامج لمحددات الأكواد الهندسية:

• استخدام المعادلة الثالثة :

InPut			
Compressive Strength	F <sub>e</sub> `	32.00	Мра
Concrete Denisty	W <sub>c</sub>	25.00	Kn/m³
Ultimate Load	P <sub>u</sub>	9142	Kn
Sustained Load	Factored D <sub>L</sub>	8218	Kn
Moment 1	M <sub>1</sub>	-0.464	Kn.m
Moment 2	M <sub>2</sub>	2.727	Kn.m
Correction Factor	Cm	0.98	U.Less
Clear Height	L	5.50	М
Unsupported Length Factor	K	1.00	User Define
Moment Of Inertia About Axix 2-2	I <sub>22</sub>	0.700	U.Less
Width Of Column	В	45.00	Cm
Length Of Column	L	200.00	Cm
Clear Cover	Cc	4.0	Cm
Stirrups Diameter	DIA	10	mm
RFT Details	No	Dia	Area /mm2
Number Of Bars Along Axis 2-2	32	20	10048
Total Number Of Bars	36	20	11304
Ratio For RFT		1.26%	





# • أخطاء بسبب عدم شمولية البرنامج لمحددات الأكواد الهندسية:

• استخدام المعادلة الثالثة :

OutPut			
Modulus Of Elasticity For Concrete	Ę	26587.215	Мра
Moment Of Inertia For Concrete	$\mathbf{I}_{g}$	1518750.00	Cm4
Moment Of Inertia For Steel	I,	54739.11	Cm4
Cracked Moment Of Inertia	I	1063125.00	Cm4
Minimum Eccentricity	e <sub>min</sub>	0.029	U.Less
Minimum Moment	M <sub>min</sub>	260.55	Kn.m
Radius Of Gyration	r	13.50	Ст
Kl <sub>u</sub> /r	40.741	U.Less	0k < 100
$34 \pm 12(M_1/M_2)$	31.957	U.Less	Slender Column
β <sub>dнз</sub>	0.899	U.Less	
EI For Method <sub>01- a</sub>	85057.11	Kn.m²	
EI For Method <sub>02- b</sub>	100181.20	Kn.m²	
EI For Method <sub>03- c</sub>	148849.94	Kn.m <sup>2</sup>	
Crtitical Buckling Load / Pc	48564.961	Kn	OK (Pu < 0.75Pc)
δ <sub>ns</sub>	1.31	U.Less	OK < 1.4



من الأخطاء الشائعة في الممارسة الهندسية أن يكتفي المهندس بقراءة النتائج كما تظهرها البرامج، ثم يبني عليها قرارات فورية دون تحليل أعمق أو تدقيق هندسي.

فليست كل نتيجة رقمية تعني بالضرورة وجود خلل إنشائي، بل قد تكون مرتبطة بتفصيل معين يتطلب فهمًا دقيقًا لطبيعة التحليل والتحميل.

#### مثال عملی:

في أحد أبراج مجمع Garden City التي تم تصميمها في بغداد، أظهرت نتائج التحليل تجاوز الإزاحة الطابقية (Story Drift) للحد المسموح به وفق الكود.

لكن عند مراجعة النتائج، تبين أن الجزء المسيطر من هذا الانجراف ناتج عن أحمال الجاذبية (كن عند مراجعة النتائج). (Vertical Load Drift)، وليس عن الأحمال الجانبية (الزلازل أو الرياح).

لذلك، لم يكن من المنطقي اللجوء إلى زيادة سماكة الجدران أو تغيير الجملة الإِنشائية، بل كان المطلوب تحليل السبب بدقة وتخفيف أثره بطرق هندسية مدروسة.

والآن، سأعرض مجموعة من الصور التي توضح هذه المشكلة، وكيفية التعامل معها بشكل منطقى ضمن البرنامج :



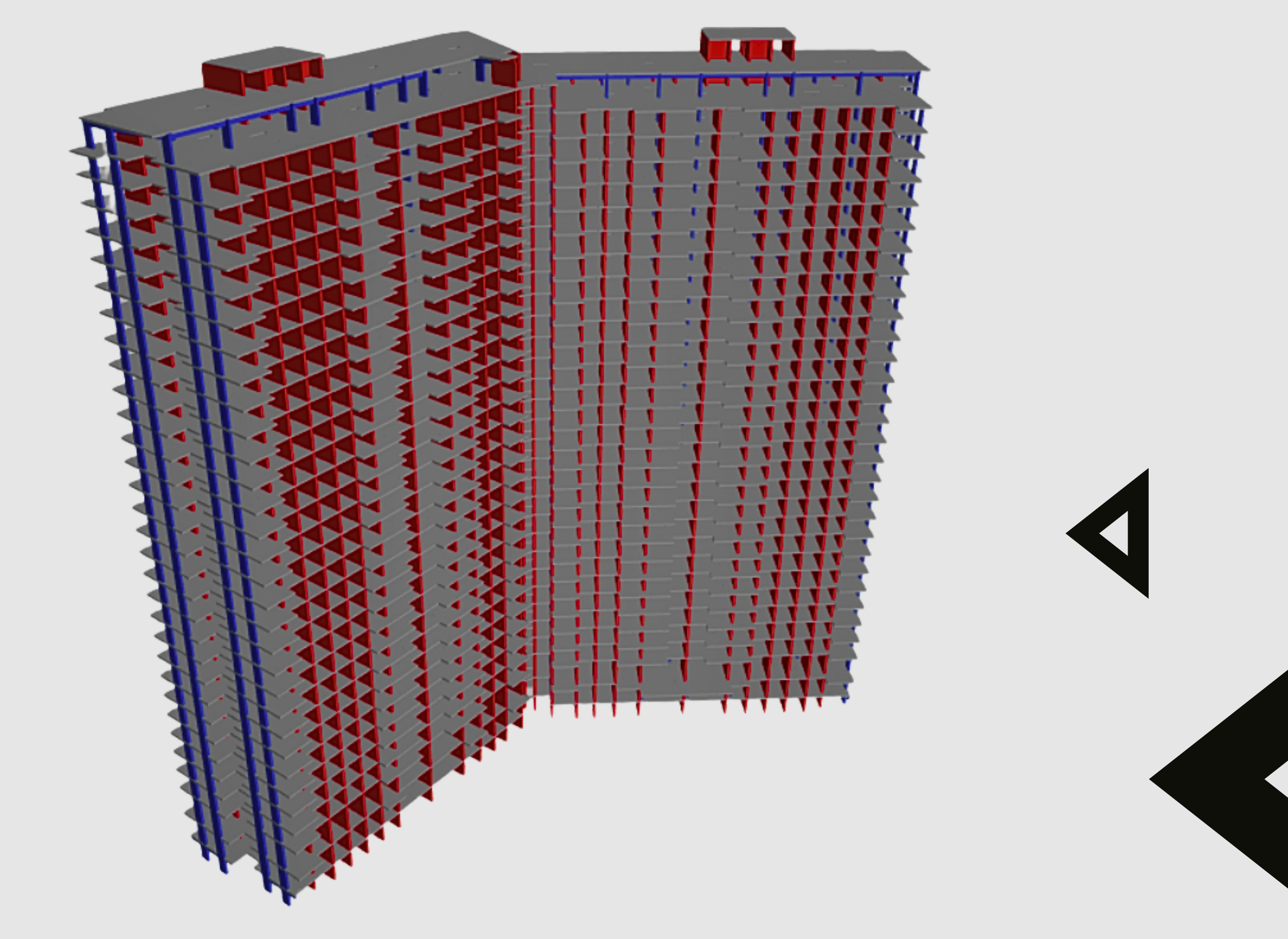
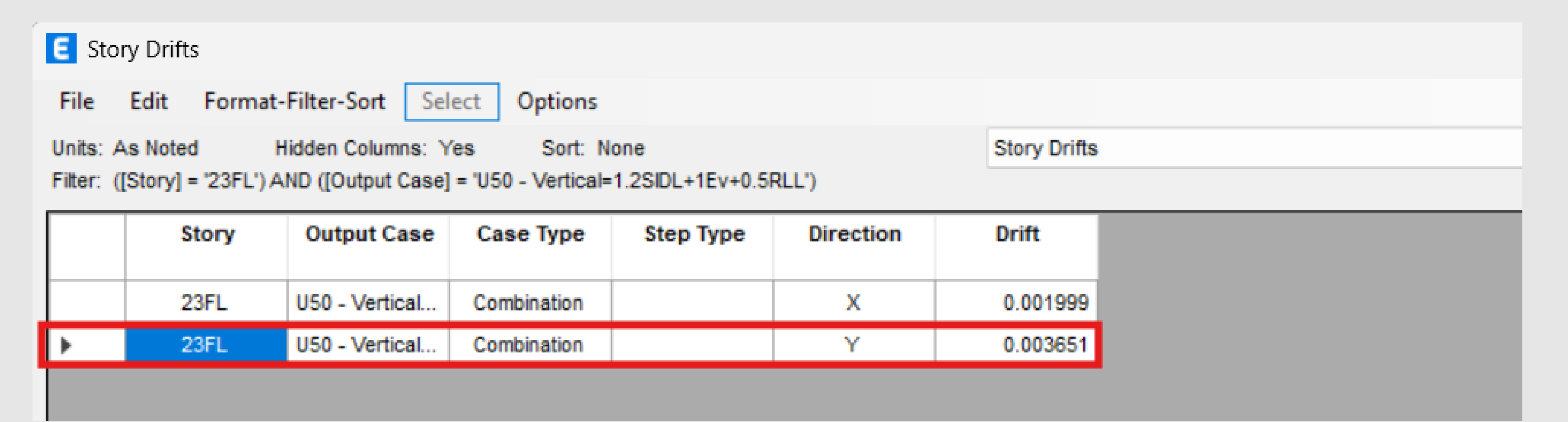


TABLE: Sto	ory Drifts								
Story 🔽	Output Case	<b>~</b>	Case Type	Step Typ	<b>Directio</b>	Delta s <sub>↓</sub>	Delta m	Limit	
23FL	U50=1.2SIDL+1Ev+1(SPEC X1-Y1 SRSS) +	+0.5RLL	Combination	Min	Υ	0.00589	0.02648	>0.02	Not OK
24FL	U50=1.2SIDL+1Ev+1(SPEC X1-Y1 SRSS) +	+0.5RLL	Combination	Min	Υ	0.00588			
22FL	U50=1.2SIDL+1Ev+1(SPEC X1-Y1 SRSS) +	+0.5RLL	Combination	Min	Υ	0.00587			
25FL	U50=1.2SIDL+1Ev+1(SPEC X1-Y1 SRSS) +	+0.5RLL	Combination	Min	Υ	0.00585			
21FL	U50=1.2SIDL+1Ev+1(SPEC X1-Y1 SRSS) +	+0.5RLL	Combination	Min	Υ	0.00584			
26FL	U50=1.2SIDL+1Ev+1(SPEC X1-Y1 SRSS) +	+0.5RLL	Combination	Min	Υ	0.00583			
27FL	U50=1.2SIDL+1Ev+1(SPEC X1-Y1 SRSS) +	+0.5RLL	Combination	Min	Υ	0.00579			
20FL	U50=1.2SIDL+1Ev+1(SPEC X1-Y1 SRSS) +	+0.5RLL	Combination	Min	Υ	0.00579			
19FL	U50=1.2SIDL+1Ev+1(SPEC X1-Y1 SRSS) +	+0.5RLL	Combination	Min	Υ	0.00574			
18FL	U50=1.2SIDL+1Ev+1(SPEC X1-Y1 SRSS) +	+0.5RLL	Combination	Min	Υ	0.00569			
17FL	U50=1.2SIDL+1Ev+1(SPEC X1-Y1 SRSS) +	+0.5RLL	Combination	Min	Υ	0.00564			
16FL	U50=1.2SIDL+1Ev+1(SPEC X1-Y1 SRSS) +	+0.5RLL	Combination	Min	Υ	0.00558			
28FL	U50=1.2SIDL+1Ev+1(SPEC X1-Y1 SRSS) +	+0.5RLL	Combination	Min	Υ	0.00552			
15FL	U50=1.2SIDL+1Ev+1(SPEC X1-Y1 SRSS) +	+0.5RLL	Combination	Min	Υ	0.00551			
14FL	U50=1.2SIDL+1Ev+1(SPEC X1-Y1 SRSS) +	+0.5RLL	Combination	Min	Υ	0.00543			
13FL	U50=1.2SIDL+1Ev+1(SPEC X1-Y1 SRSS) +	+0.5RLL	Combination	Min	Υ	0.00536			
12FL	U50=1.2SIDL+1Ev+1(SPEC X1-Y1 SRSS) +	+0.5RLL	Combination	Min	Υ	0.00528			
1151	LIFO 4 3CIDI (4F4/CDFC V4 V4 CDCC)	O EDIT	C	N #:	V	0.00510			



Delta s (Seismic+Vertical)	Delta s (Vertical)	Delta s (Vertical) Ratio
0.005885	0.003651	0.620390824



نلاحظ أن ال Vertical Drift هو المسيطر بنسبة أعلى لذلك هنا علينا الانتباه أنه قبل البدء بتكبير أبعاد العناصر المقاومة للأحمال الجانبية أو تغيير في الجملة الانشائية أن نجد حلولاً تقلل من قيمة ال Drift . وهنا كان الحل الأنسب استخدام تحليل Auto Construction Sequence والذي أعطانا النتائج التالية :

Case is Active					
_					
Auto Construction Seque	nce Load Case Name	AutoSe	9		
Geometric Nonlinearity C	ption	P-Delta	~		
onstruction Sequence					
Combine this number of Storie	es in each Construction So	equence Group	1		
Exclude this Group Until	the Last Sten				
		1			
oads Applied	ads Applied				
Load Pattern Name	Scale Factor	or	Add		
SW	∨ 1				
			Delete		
esign Combinations					
_	Cases with this Load Ca	se in all Default Design	n Combinations		
Replace Dead Type Load					



Eng.Alaa Al-eliwe



Delta s (Seismic+Vertical)	Delta s (Vertical - Auto Seq)	Delta s (Vertical) Ratio
0.005885	0.00245	0.416312659





وبالنهاية نلاحظ أن تحليل Auto Construction Sequence أظهر أثرًا واضحًا في تقليل الإزاحة الرأسية (Vertical Drift)، من خلال محاكاة مراحل التنفيذ الواقعية وتوزع الأحمال التدريجي على العناصر الإنشائية.

هذا التحليل عكس سلوك المنشأ بشكل أدق، وأبرز أن جزءًا كبيرًا من الازاحة الرأسية في النمذجة التقليدية كان ناتجًا عن تحميل فوري غير واقعي.

وبذلك، يُثبت هذا النوع من التحليل أن الفهم العميق لآلية البرنامج وتفعيل خصائصه المتقدمة يمكن أن يوضِّر حلولًا دقيقة دون اللجوء إلى تعديلات إنشائية غير ضرورية



#### مثال عملی:

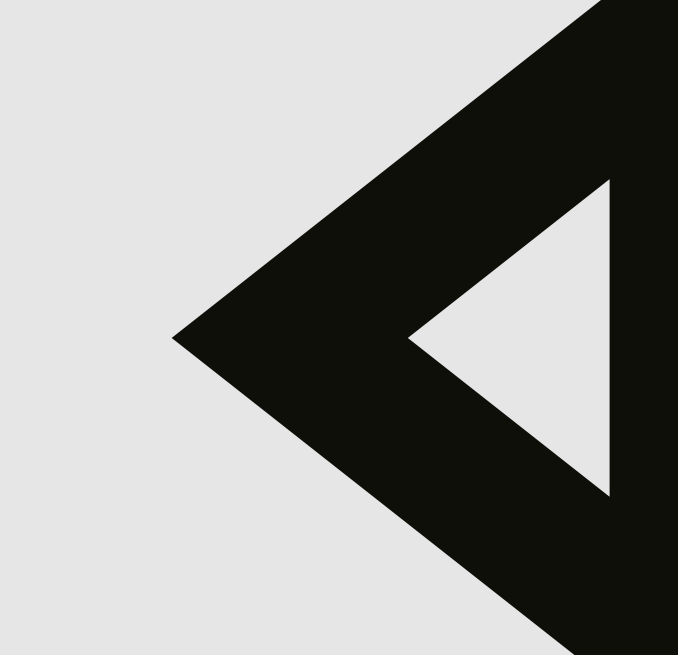
كما أنه في أحد أبراج مجمع SWISS COMPOUND التي تم عرضها سابقاً ، أظهرت نتائج التحليل تجاوز الإزاحة الطابقية تحت تأثير الرياح (Wind Drift) للحد المسموح به وفق الكود. لكن عند مراجعة النتائج، تبين أن المشكلة تكمن في خطوات هندسية يوصي بها الكود الأمريكي ASCE7-16 حيث بحال حساب ال Wind Drift يجب حساب معامل لذلك، لم يكن من المنطقي اللجوء إلى زيادة سماكة الجدران أو تغيير الجملة الإنشائية، بلكان المطلوب تحليل السبب بدقة وتخفيف أثره بطرق هندسية مدروسة.

والآن، سأعرض مجموعة من الصور التي توضح هذه المشكلة، وكيفية التعامل معها بشكل منطقي ضمن البرنامج :



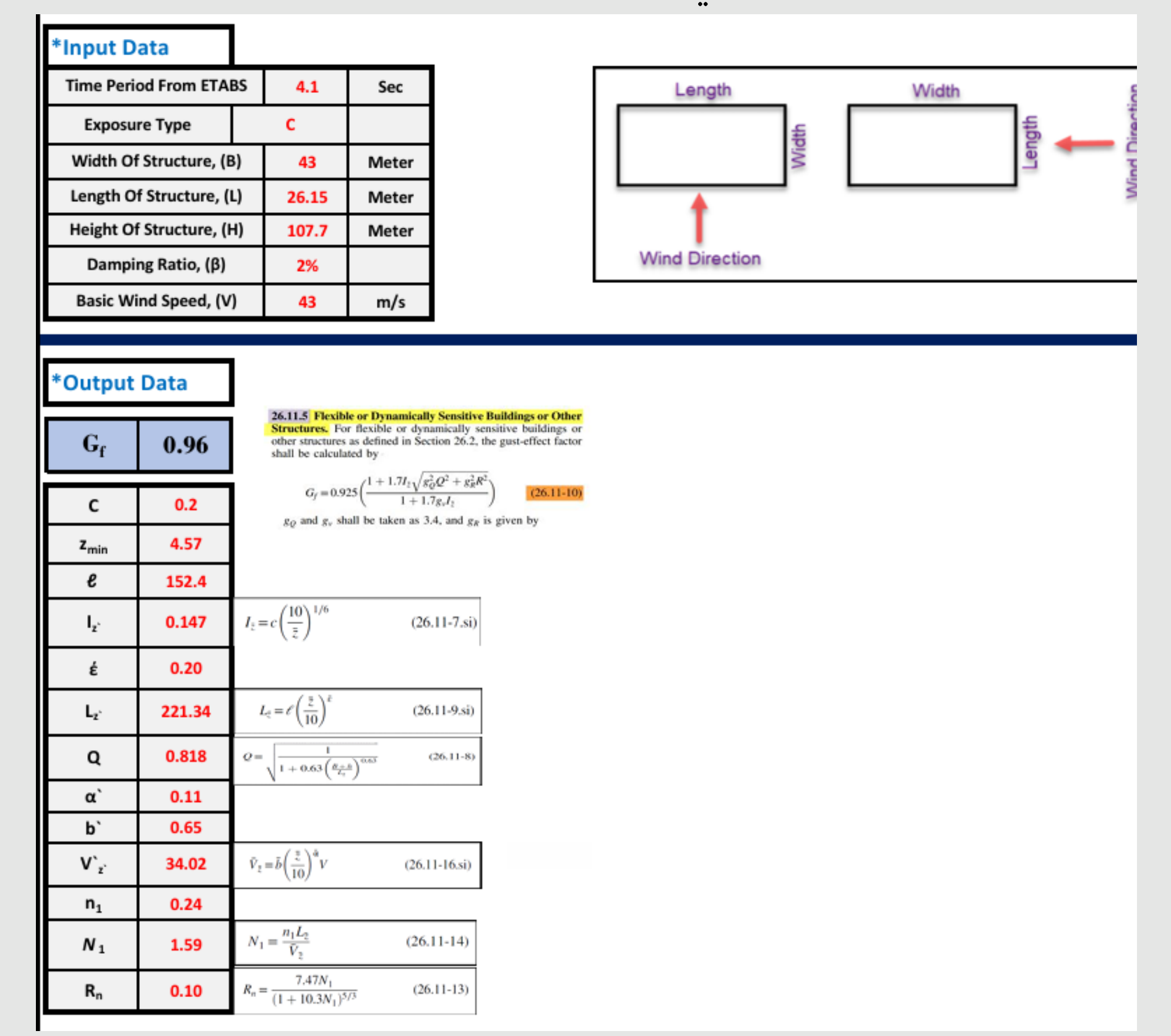
39		The second secon		The second secon	and the second second
40	Story	Load CaselCombo	Item	Max Drift	LIMIT
41					0.0025
42	TOP ROOF	WYDRFT Max	Diaph D1Y	0.003242	NOT OK
43	ROOF FLOOR	WYDRFT Max	Diaph D1Y	0.003393	NOT OK
44	25 TH FLOOR	WYDRFT Max	Diaph D1Y	0.003257	NOT OK
45	24TH FLOOR	WYDRFT Max	Diaph D1Y	0.003276	NOT OK
46	23TH FLOOR	WYDRFT Max	Diaph D1Y	0.003291	NOT OK
47	22TH FLOOR	WYDRFT Max	Diaph D1Y	0.003345	NOTOK
48	21TH FLOOR	WYDRFT Max	Diaph D1Y	0.003371	NOT OK
49	20TH FLOOR	WYDRFT Max	Diaph D1Y	0.003403	NOTOK
50	19 TH FLOOR	WYDRFT Max	Diaph D1 Y	0.003431	NOTOK
51	18 TH FLOOR	WYDRFT Max	Diaph D1Y	0.003452	NOT OK
52	17 TH FLOOR	WYDRFT Max	Diaph D1Y	0.003468	NOTOK
53	16 TH FLOOR	WYDRFT Max	Diaph D1Y	0.003505	NOT OK
54	15 TH FLOOR	WYDRFT Max	Diaph D1Y	0.003544	NOTOK
55	14 TH FLOOR	WYDRFT Max	Diaph D1Y	0.003572	NOTOK
56	13 TH FLOOR	WYDRFT Max	Diaph D1 Y	0.003555	NOT OK
57	12 TH FLOOR	WYDRFT Max	Diaph D1Y	0.00353	NOTOK
58	11 TH FLOOR	WYDRFT Max	Diaph D1 Y	0.003464	NOT OK
59	10TH FLOOR	WYDRFT Max	Diaph D1Y	0.003363	NOT OK
50	9 TH FLOOR	WYDRFT Max	Diaph D1Y	0.003221	NOT OK
51	8TH FLOOR	WYDRFT Max	Diaph D1Y	0.003032	NOT OK
52	7 TH FLOOR	WYDRFT Max	Diaph D1Y	0.002807	NOTOK
53	6 TH FLOOR	WYDRFT Max	Diaph D1Y	0.00255	NOT OK
54	5TH FLOOR	WYDRFT Max	Diaph D1Y	0.002212	OK
35	4TH FLOOR	WYDRFT Max	Diaph D1 Y	0.00185	OK
36	3RD FLOOR	WYDRFT Max	Diaph D1 Y	0.001407	OK
57	2ND FLOOR	WYDRFT Max	Diaph D1Y	0.001019	OK
58	1ST FLOOR	WYDRFT Max	Diaph D1Y	0.000436	OK





Eng.Alaa Al-eliwe

لكن في الأبراج العالية يوجد ما يسمى معامل Guest Factor لحساب قوى الرياح ففي الأبراج العالية بدايةً نفرضه 1 ثم بعد التحليل نحسبه بقيمته الفعلية والتى تؤثر على نتائج الازاحة :





كما أن القيام بتحليل Auto Construction Sequence يعطي التحميل الواقعي للبناء والذي يقلل من قيمة الازاحة التى قد تكون غير دقيقة :

TABLE: Story Drifts							
Story	Output Case	Case Type	Step Type	Direction	Drift		
14 TH FLOOR	W1P - Drift = 1SIDL+0.5LL+0.5RLL+0.7W1	Combination	Max	Υ	0.002416		
14 TH FLOOR	W2P - Drift = 1SIDL+0.5LL+0.5RLL+0.7W1	Combination	Max	Υ	0.002416		
15 TH FLOOR	W1P - Drift = 1SIDL+0.5LL+0.5RLL+0.7W1	Combination	Max	Υ	0.002395		
15 TH FLOOR	W2P - Drift = 1SIDL+0.5LL+0.5RLL+0.7W1	Combination	Max	Υ	0.002395		
13 TH FLOOR	W1P - Drift = 1SIDL+0.5LL+0.5RLL+0.7W1	Combination	Max	Υ	0.002394		
13 TH FLOOR	W2P - Drift = 1SIDL+0.5LL+0.5RLL+0.7W1	Combination	Max	Υ	0.002394		
12 TH FLOOR	W1P - Drift = 1SIDL+0.5LL+0.5RLL+0.7W1	Combination	Max	Υ	0.002382		
12 TH FLOOR	W2P - Drift = 1SIDL+0.5LL+0.5RLL+0.7W1	Combination	Max	Υ	0.002382		
16 TH FLOOR	W1P - Drift = 1SIDL+0.5LL+0.5RLL+0.7W1	Combination	Max	Υ	0.002373		
16 TH FLOOR	W2P - Drift = 1SIDL+0.5LL+0.5RLL+0.7W1	Combination	Max	Υ	0.002373		
17 TH FLOOR	W1P - Drift = 1SIDL+0.5LL+0.5RLL+0.7W1	Combination	Max	Υ	0.00234		
17 TH FLOOR	W2P - Drift = 1SIDL+0.5LL+0.5RLL+0.7W1	Combination	Max	Υ	0.002347		
18 TH FLOOR	W1P - Drift = 1SIDL+0.5LL+0.5RLL+0.7W1	Combination	Max	Υ	0.002342		
18 TH FLOOR	W2P - Drift = 1SIDL+0.5LL+0.5RLL+0.7W1	Combination	Max	Υ	0.002343		
11 TH FLOOR	W1P - Drift = 1SIDL+0.5LL+0.5RLL+0.7W1	Combination	Max	Υ	0.00233		
L1 TH FLOOR	W2P - Drift = 1SIDL+0.5LL+0.5RLL+0.7W1	Combination	Max	Υ	0.00233		
L9 TH FLOOR	W1P - Drift = 1SIDL+0.5LL+0.5RLL+0.7W1	Combination	Max	Υ	0.00233		
19 TH FLOOR	W2P - Drift = 1SIDL+0.5LL+0.5RLL+0.7W1	Combination	Max	Υ	0.002332		





في خضم الاعتماد المتزايد على البرامج الهندسية، تبرز الحاجة الماسّة إلى فهمٍ واعٍ ودقيقٍ لطبيعة هذه الأدوات، وإدراك حدودها وإمكاناتها.

فالأخطاء لا تنشأ فقط من خلل برمجي، بل كثيرٌ منها يعود إلى سوء التمثيل، أو الإغفال، أو الثقة المطلقة بالنتائج دون تحليل أو تدقيق. ومن هنا، فإن على المهندس أن يبقى حاضر الذهن، ناقدًا، لا مُسلِّمًا، قادرًا على التمييز بين ما هو ناتج عن الواقع، وما هو نتيجة فرضيات رقمية.

نأمل أن تكون هذه المحاضرة قد أسهمت في تسليط الضوء على أهم الأخطاء التي قد تواجهنا في استخدام البرامج الإنشائية، وساعدت في تعزيز الوعي الهندسي لدى زملائنا ومهندسينا الشباب.

ففي طريقنا نحو إعادة إعمار هندسية واعية، لا بد أن نجمع بين الخبرة التقنية والوعي التحليلي، لنُنشئ بنية متينة، دقيقة، وآمنة... لا تثق بما يعطيك إيّاه البرنامج فقط، بل افهمه، وراجعه، وأعد تشكيله كما تراه هندسيًا صائبًا

